## 安全で持続可能な水利用のための放射性物質移流 拡散シミュレータの開発

沖グループ:流域水質シミュレータの開発

沖 大幹・守利 悟朗

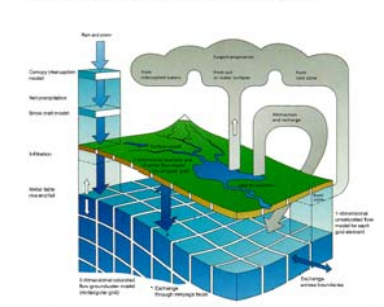
CREST研究集会, 東大生研, 2012/8/27

## MIKE SHE - integrated modelling

- Features
  - Integrated
  - Distributed
  - Physically based

MIKE SHE

an Integrated Hydrological Modelling System



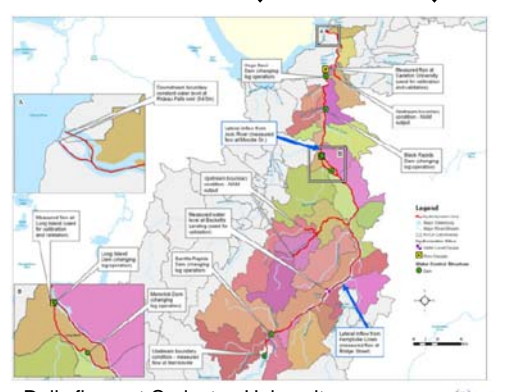
- Modules:
  - Basic
    - Pre and Post processing
    - WM Water Movement
  - Add-on
    - Advection-Dispersion AD SD
    - Sorption/Degradation
    - MP Macro Pore Flow
    - GW Groundwater
    - Biodegradation
    - IR Irrigation and Crop Growth
    - Linear Reservoir
    - DAISY Crop Yield and Nitrogen Consumption

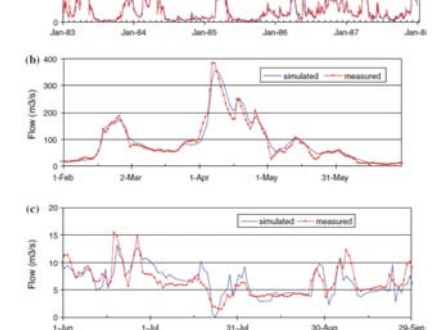
## サブテーマ:流域水質シミュレータの開発

#### ●課題

- ★芳村グループ、村上グループ及び末木グループと緊密に連携しな がら、研究対象フィールドを決定し、流域シミュレータのチューニ ング・再現実験に着手する。現地調査の状況に応じて、流域GIS 等を援用して必要な情報を取得し数値モデルに組み込む。さら に、取得した情報を用いてモデルパラメータの同定を行い、土砂 収支及び河床形状といった項目に関して再現実験を進める。
  - 1. 流域シミュレータのチューニング・再現実験 小滝川砂防堰堤における再現計算
  - 2. 大堀川における土砂動熊モデルの構築および検証 •河川測量データ整備
  - 3. 草木ダムにおける土砂動態モデルの構築及び放射性物質の 力学的諸量の解析手法の開発

## MIKE 11 (Rivers)



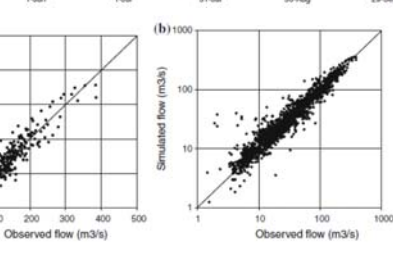


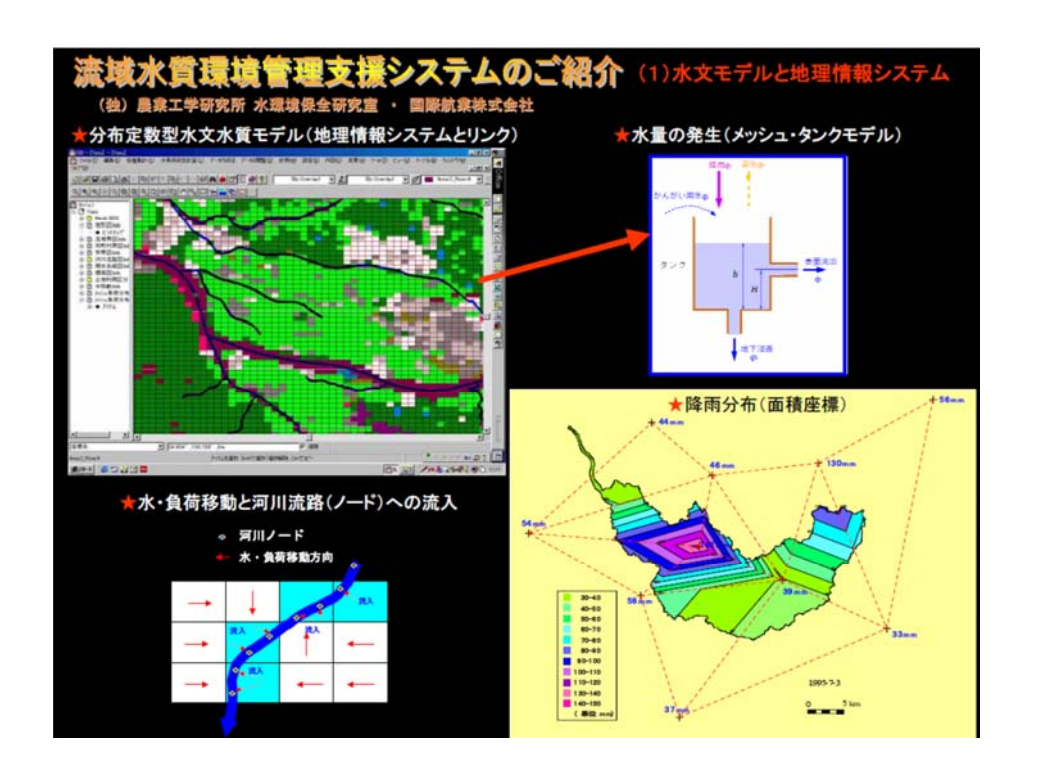
Daily flows at Carlecton University

- (a) 5 year calibration period, (b)1984 spring freshet,
- (c) 1985 summer months

Scatter plots of daily flows (a) normal scale, (b) log scale

(Ferdous Ahmed, 2010. A hydrodynamic model for the Lower Rideau River.Nat Hazards, 85-94.)

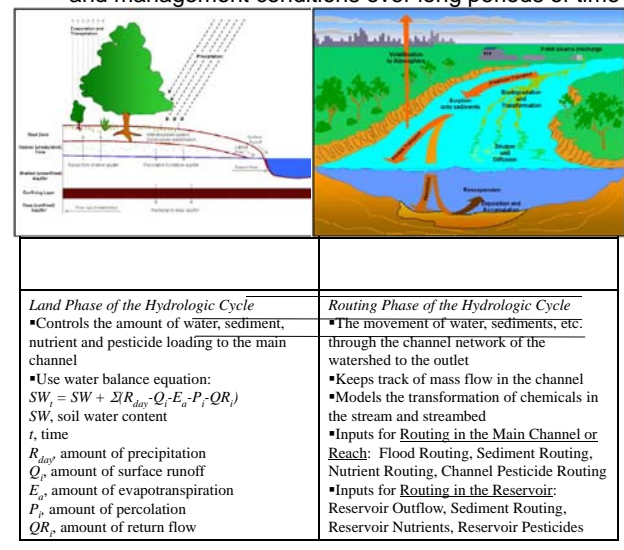




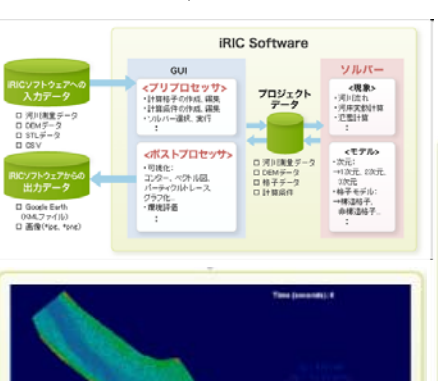
#### SWAT: Soil and Water Assessment Tool

http://www.brc.tamus.edu/swat/

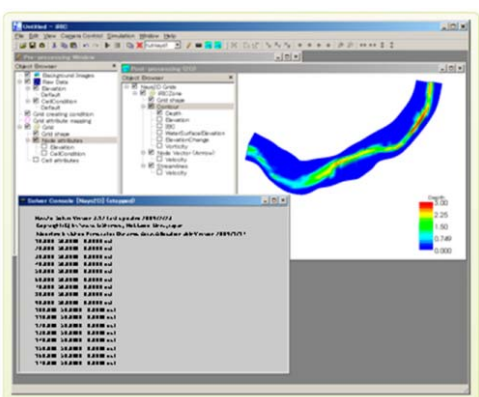
Predict the impact of land management practices on water, sediment, and agricultural yields in large complex watersheds with varying soils, land use and management conditions over long periods of time



#### iRICソフトウェア

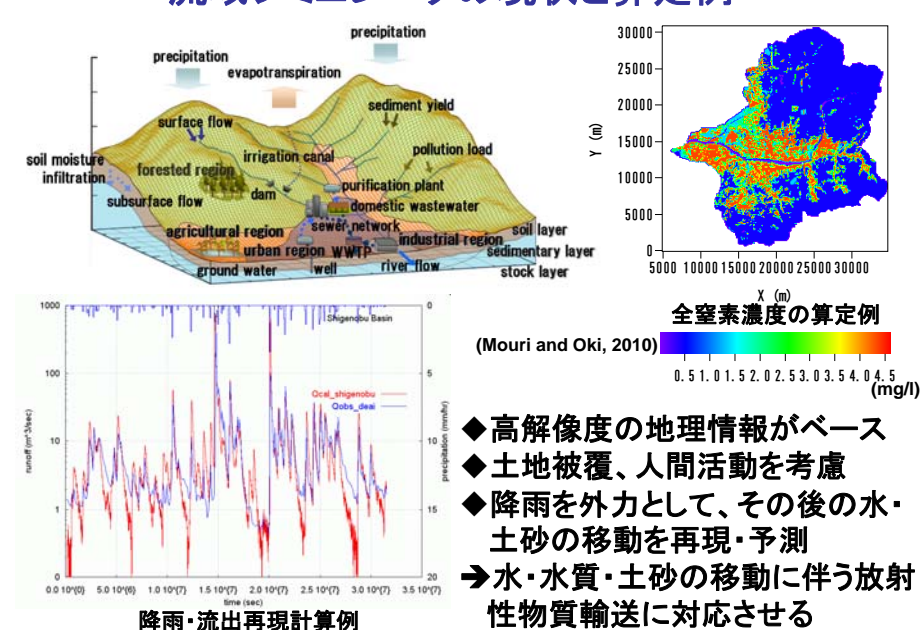


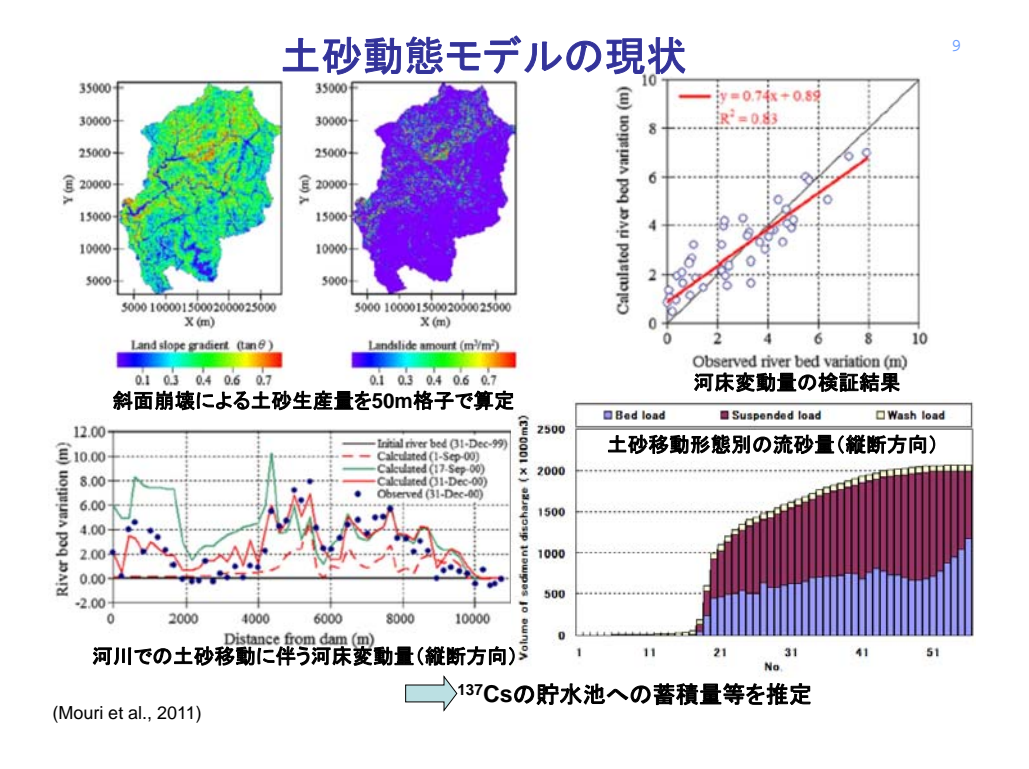
河川の非定常平面二次元流れと河床変動・河岸侵食の計 算を行うことができる。



清水康行:河道平面形状の形成における河床・河岸の変動特性の相互関係について、土木学会水 工学論文集、第47巻、pp. 643-648, 2003.

## 流域シミュレータの現状と算定例

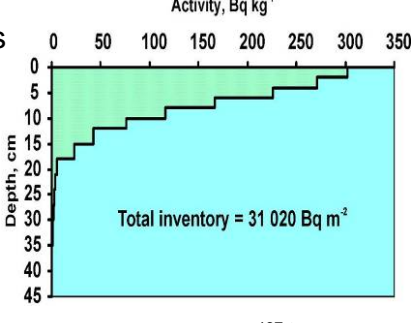




#### ▶土砂動態とセシウムの関係 セシウムは表層土壌に吸着され、主 Loading = 250 mBq cm<sup>-1</sup> に土砂と共に移動するといった動態 が1960年代およびチェルノブイリ事 故時の降下物挙動から明らかとなっ ている。 ●セシウムは粘土などにトラップされ LEVEL CULTIVATED SITE & て表層に 集中するという特徴がある Loading = 240-260 m Bq cm ●森林域や果樹園などでは表層から 30cm程度の間にトラップされている DEPOSITIONAL CI ●耕作地では土壌の混合による均一 Loading = 300-3501 化により一様分布を示している (Matsunaga et al., 1991) (Stefano et al., 1999) セシウムが粘土などにトラップされて表 層に集中し、その後の水分や土壌の移 動と良い相関がある

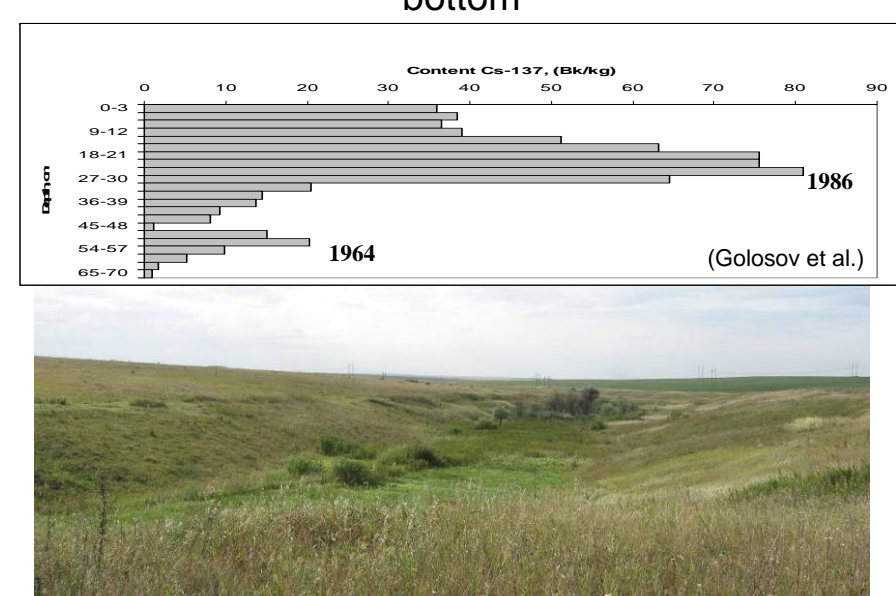
# Chernobyl-derived <sup>137</sup>Cs fixation and vertical migration

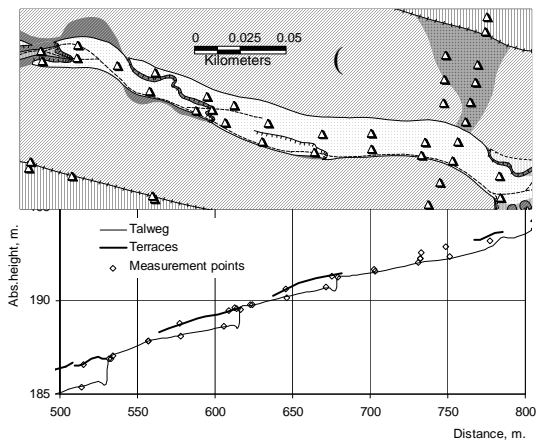
• There are no any differences between bomb-derived and Chernobyl-derived <sup>137</sup>Cs fixation and vertical migration. Behavior of Chernobyl-derived <sup>137</sup>Cs is similar with bomb-derived <sup>137</sup>Cs.

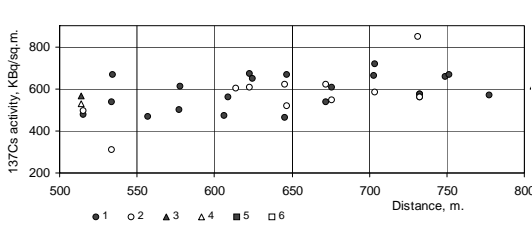


Depth-incremental <sup>137</sup>Cs profile recorded for reference site 1 within the Novosil experimental station (Golosov

## Cs-137 vertical distribution for the dry valley bottom







Study of <sup>137</sup>Cs along the dry valley bottom

Catchment Lapky, Tula region, area with high level of Chernobyl contamination

#### Legend



Valley side Valley bottom

Deposition zone in hollows

Erosion scarps

#### Dry valley bottom

- 1- in-situ measurement deposition site
- 2- laboratory measurement deposition
- 3- in-situ measurement, eroding site
- 4 laboratory measurement, eroding

(Golosov et al.)

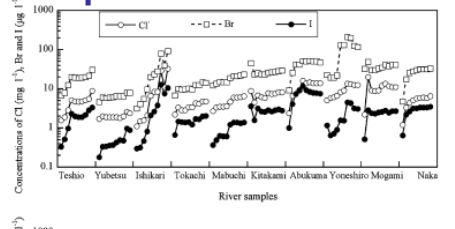
#### Concentrations of iodine in Japanese rivers

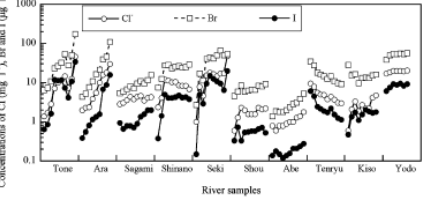


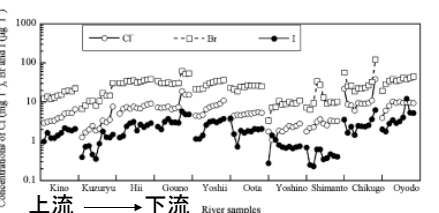
Near the Japanese coast, organic I has the highest concentration followed by inorganic gaseous I and particulate I. Since I is highly concentrated in the atmosphere, and I in river waters were higher than in seawater.

海岸よりも河川の河口部での濃度が高い結果。

(Tagami and Uchida, 2006)

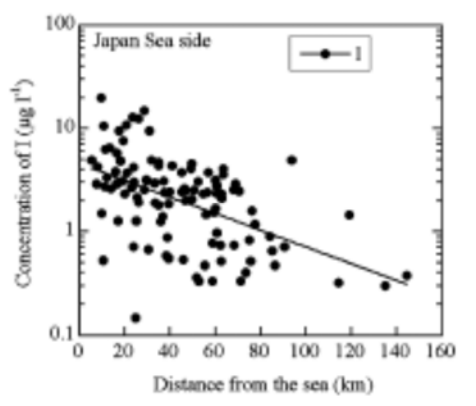






## Concentrations of iodine in Japanese rivers Average annual water run-off of each river and CI, Br and I inputs to the

#### 天竜川以外で河口部での濃度が高かった。



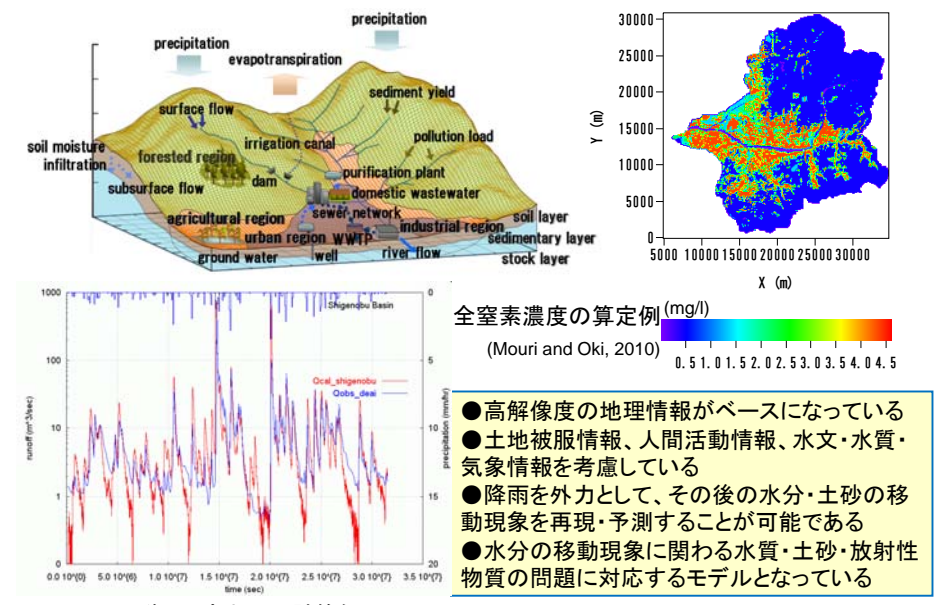
Concentrations of I in all samples are plotted in Fig. 3, from the upper stream to the river mouth. Except for the results of the Tenryu river, the concentrations of I in each river increased when the sampling points were nearer the river mouth.

(Tagami and Uchida, 2006)

| River<br>name | Length<br>(km) | Average<br>water<br>run-off<br>(m <sup>3</sup> s <sup>-1</sup> ) | (10 <sup>9</sup> gy <sup>-1</sup> ) | Br<br>(10 <sup>6</sup> g y <sup>-1</sup> ) | (10 <sup>6</sup> gy <sup>-1</sup> ) |
|---------------|----------------|--|-------------------------------------|--|-------------------------------------|
| Teshio        | 256            | 210  | 26.4                                | 106  | 9.7                                 |
| Yubetsu       | 87             | 36   | 2.2                                 | 7  | 0.5                                 |
| Ishikari      | 268            | 496  | 84.5                                | 269  | 29.9                                |
| Tokachi       | 156            | 92   | 10.1                                | 31   | 4.1                                 |
| Mabuchi       | 142            | 51   | 6.9                                 | 27   | 1.3                                 |
| Kitakami      | 249            | 307  | 66.6                                | 258  | 25.9                                |
| Abukuma       | 239            | 126  | 38.9                                | 150  | 25.0                                |
| Yoneshiro     | 136            | 211  | 56.6                                | 441  | 11.3                                |
| Mogami        | 229            | 390  | 116.5                               | 442  | 26.5                                |
| Naka          | 150            | 78   | 10.8                                | 56   | 6.2                                 |
| Tone          | 322            | 241  | 53.4                                | 192  | 39.3                                |
| Am            | 173            | 46   | 9.3                                 | 25   | 2.8                                 |
| Sagami        | 109            | 36   | 4.3                                 | 10   | 1.2                                 |
| Shinano       | 367            | 376  | 87.2                                | 251  | 35.1                                |
| Seki          | 64             | 52   | 18.3                                | 46   | 9.5                                 |
| Shou          | 115            | 33   | 1.7                                 | 7  | 0.5                                 |
| Abe           | 51             | 25   | 0.8                                 | 2  | 0.1                                 |
| Tenryu        | 213            | 207  | 30.4                                | 99   | 13.9                                |
| Kiso          | 227            | 227  | 16.4                                | 107  | 9.9                                 |
| Yodo          | 75             | 231  | 138.8                               | 369  | 59.6                                |
| Kino          | 136            | 41   | 5.3                                 | 20   | 2.0                                 |
| Kuzuryu       | 116            | 57   | 4.6                                 | 22   | 1.5                                 |
| Hii           | 153            | 40   | 9.1                                 | 43   | 2.8                                 |
| Gouno         | 194            | 143  | 40.8                                | 165  | 15.2                                |
| Yoshii        | 133            | 60   | 12.7                                | 53   | 4.4                                 |
| Oota          | 103            | 70   | 10.6                                | 53   | 4.0                                 |
| Yoshino       | 194            | 86   | 5.1                                 | 22   | 2.0                                 |
| Shimanto      | 196            | 121  | 10.5                                | 44   | 1.6                                 |
| Chikugo       | 143            | 105  | 36.8                                | 103  | 8.7                                 |
| Oyodo         | 107            | 138  | 36.3                                | 151  | 15.9                                |
| Total         | 5103           | 4334   | 952                                 | 3569                                       | 371                                 |
| Amazon*       | ca. 6300       | 175000   | 22 000                              | -  | _                                   |

\* Data from Gibbs (1972)

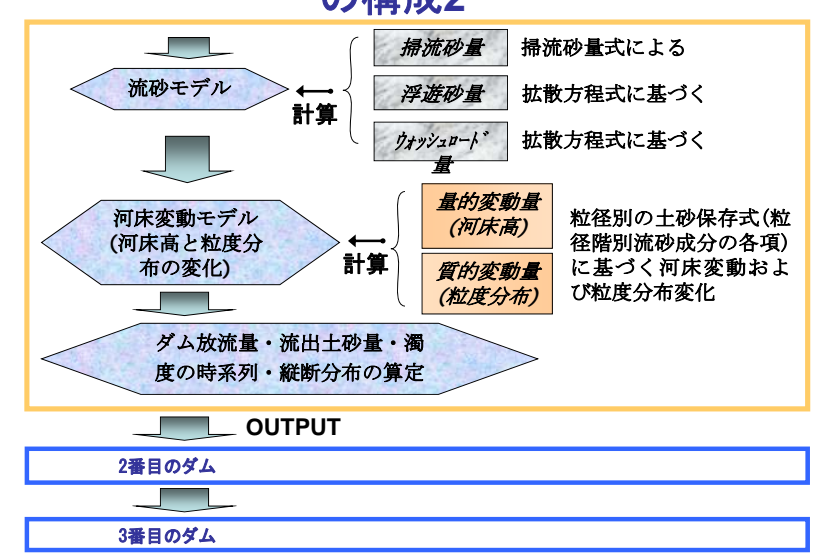
## 流域シミュレータの現状と算定例



降雨,流出再現計算例

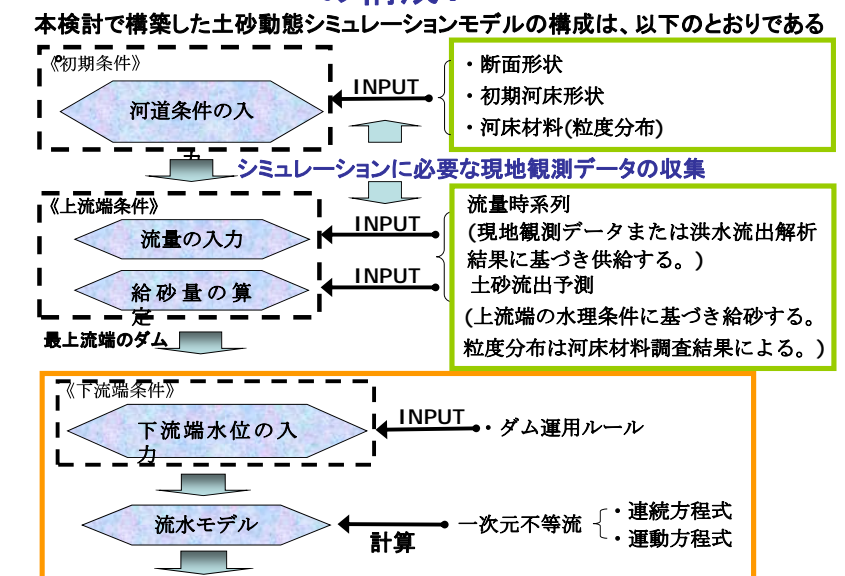
#### 土砂移動モデルの現状 y = 0.74x + 0.89 $R^2 = 0.83$ 25000-£ 20000 15000 Calculated 5000 10000150002000025000 5000 10000150002000025000 Land slope gradient $(\tan \theta)$ Landslide amount (m<sup>3</sup>/m<sup>2</sup>) Observed river bed variation (m) 0.1 0.3 0.4 0.6 0.7 0.3 0.4 0.6 0.7 河床変動量の検証結果 斜面崩壊による土砂生産量を50m格子で算定 Bed load Suspended load ☐ Wash load 12.00 E 10.00 Calculated (1-Sep-00) Calculated (17-Sep-00) Calculated (31-Dec-00) Observed (31-Dec-00) 6.00 4.00-Distance from dam (m) 河川での土砂移動に伴う河床変動量を縦断的に算定 土砂移動形態別の流砂量を縦断的に算定 )137Csの貯水池への蓄積量等を推定 (Mouri et al., 2011)

## ●濁度に着目した土砂動態シミュレーション の構成2



小滝川を対象に土砂動態モデルの検証を行った。

## ●濁度に着目した土砂動態シミュレーション の構成1

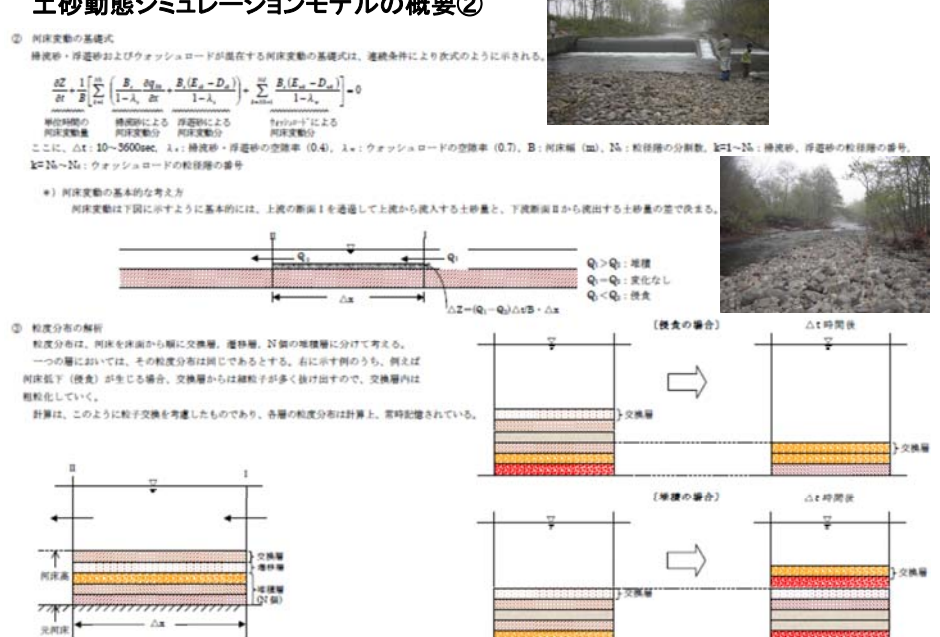


## ●濁度に着目した土砂動態モデルの基礎式

掃流砂, 浮遊砂およびウォッシュロードの効果が混在するダム上流の河 床変動の基礎式は、連続条件により、次式のように示される。

ここに、 $\Delta$ t:10~3600sec,  $\lambda$ <sub>b</sub>, $\lambda$ <sub>s</sub>:掃流砂・浮遊砂の空隙率(0.4),  $\lambda$ <sub>w</sub>:ウォッシュロードの空隙率(0.7), B:河床幅(m)、N<sub>b</sub>:粒径階の分割数, k=1~N<sub>b</sub>:掃流砂、浮遊砂の粒径階の番号, k=N<sub>b</sub>-N<sub>s</sub>:ウォッシュロードの粒径階の番号,Z<sub>b</sub>:河床位,Bb:河床幅,Bs:流砂幅,q<sub>b</sub>:粒径d<sub>c</sub>の単位幅掃流砂量,Esk,Dsk:粒径d<sub>c</sub>の浮遊砂の河床付近における単位面積当りの巻き上げフラックスと沈降フラックスEwkDwk:粒径d<sub>c</sub>のウォッシュロードの河床付近における単位面積当たり巻き上げフラックスと沈降フラックス

#### 土砂動態シミュレーションモデルの概要②

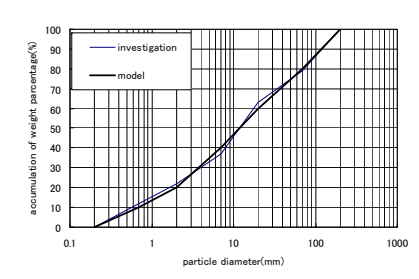


## ●河床材料及び供給土砂の粒度分布の設定

· 今回構築するモデルでは、河床材料の最大粒径を200mmとし、0.2mm以下の土砂を ウォッシュロード成分とする。そして、粒径範囲を10段階に分け、それぞれ次のよう に設定する。

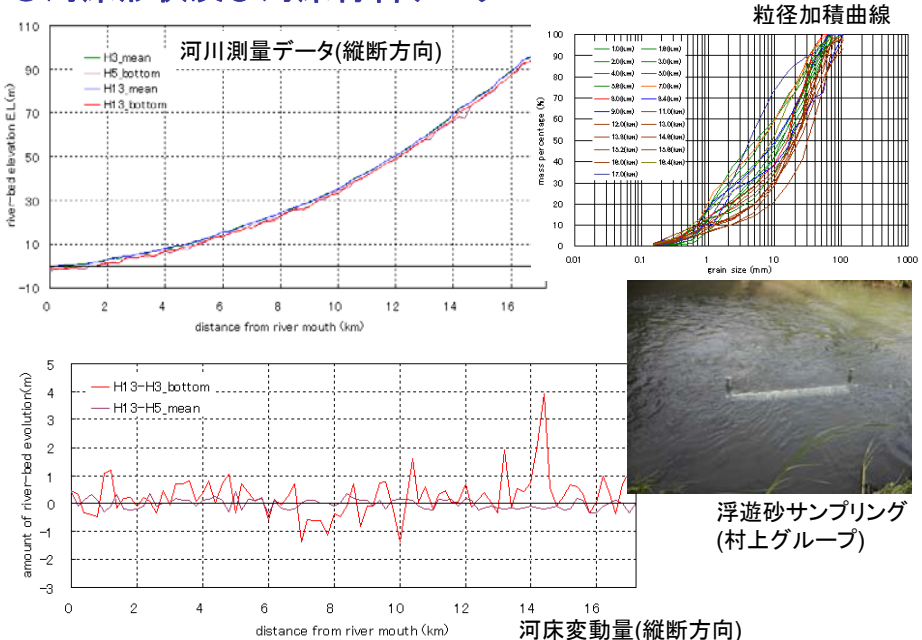
河床材料(掃流砂・浮遊砂成分): 200mm~0.2mm で6段階に分ける。 ウォッシュロード成分 : 0.2mm~0.001mmで4段階に分ける。

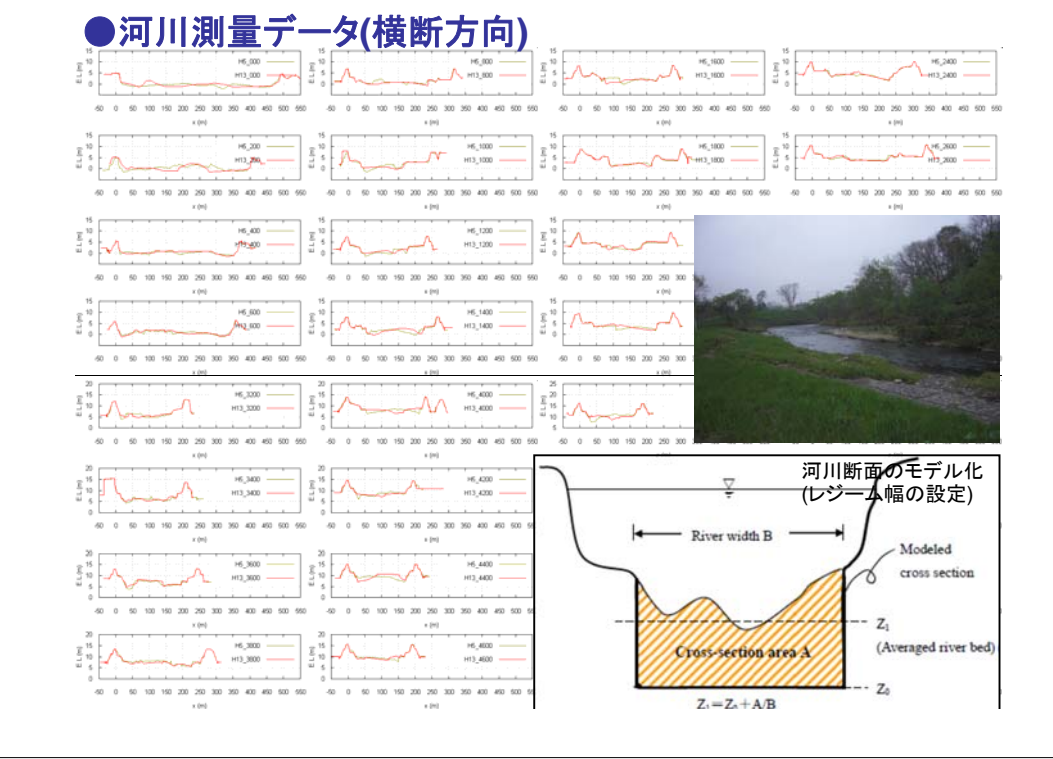
なお、ウォッシュロードの粒度分布は対象流域に調査データが無い為、一般的な粒径階とし、含有率は後述のモデル同定時の試算により設定した。



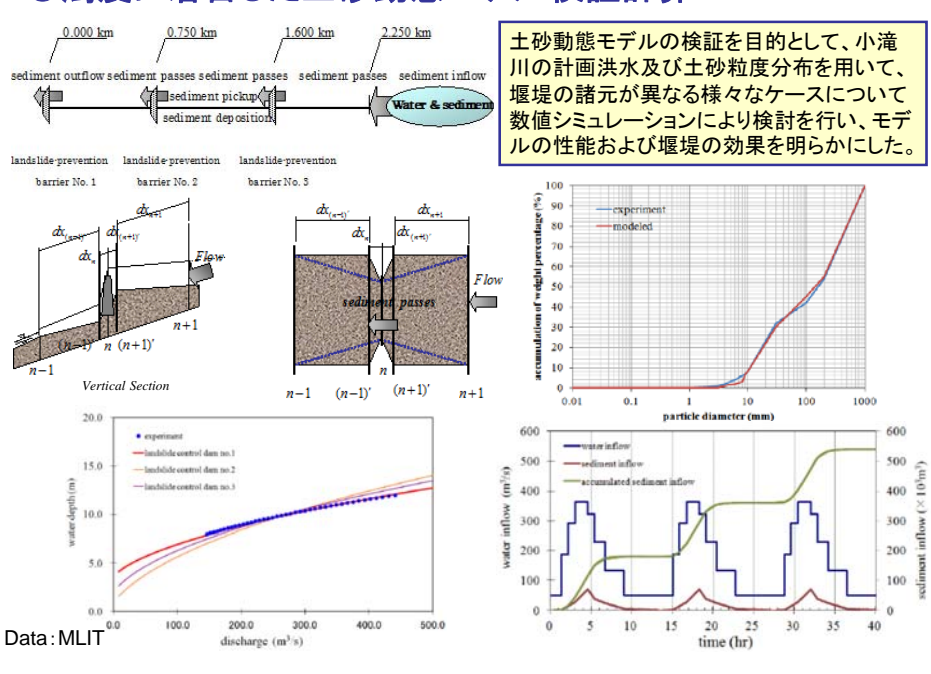
| 粒径      | 代表粒径       | 沈降速度    | 河床材   | 料(%)   | ウォッシュロード |       |  |
|---------|------------|---------|-------|--------|----------|-------|--|
| 144 (35 | I VACIOUE. | (cm/s)  | 矢作    | Ш      | (%)      |       |  |
| (mm)    | (mm)       | RUBEY式  | 通過百分率 | 含有率    | 通過百分率    | 含有率   |  |
| 200     |            |         | 100.0 |        |          |       |  |
| 70      | 118.30     | 112.80  | 00.0  | 20.0   |          |       |  |
| 70      | 37, 40     | 63, 45  | 80.0  | 20.0   |          |       |  |
| 20      |            |         | 60.0  |        |          |       |  |
| 7       | 11.80      | 35.68   | 40.0  | 20.0   |          |       |  |
|         | 3.70       | 20.06   |       | 20.0   |          |       |  |
| 2       | 1.20       | 11. 28  | 20.0  | 10.0   |          |       |  |
| 0.7     |            |         | 10.0  |        |          |       |  |
| 0, 2    | 0.40       | 5. 070  | 0.0   | 10.0   | 100, 0   |       |  |
|         | 0.10       | 0.9198  |       |        | 100.0    | 5.    |  |
| 0.07    | 0,0370     | 0, 1360 |       |        | 95.0     | 20. ( |  |
| 0.02    |            | 0.1300  |       |        | 40.0     |       |  |
| 0, 007  | 0.0118     | 0.0139  |       |        | 40.0     | 45. ( |  |
| 0.007   | 0.0026     | 0.0007  |       |        | 20.0     | 30.0  |  |
| 0.001   |            |         |       |        | 0.0      |       |  |
| 合計      |            |         |       | 100, 0 |          | 100.  |  |

### ●河床形状及び河床材料データ

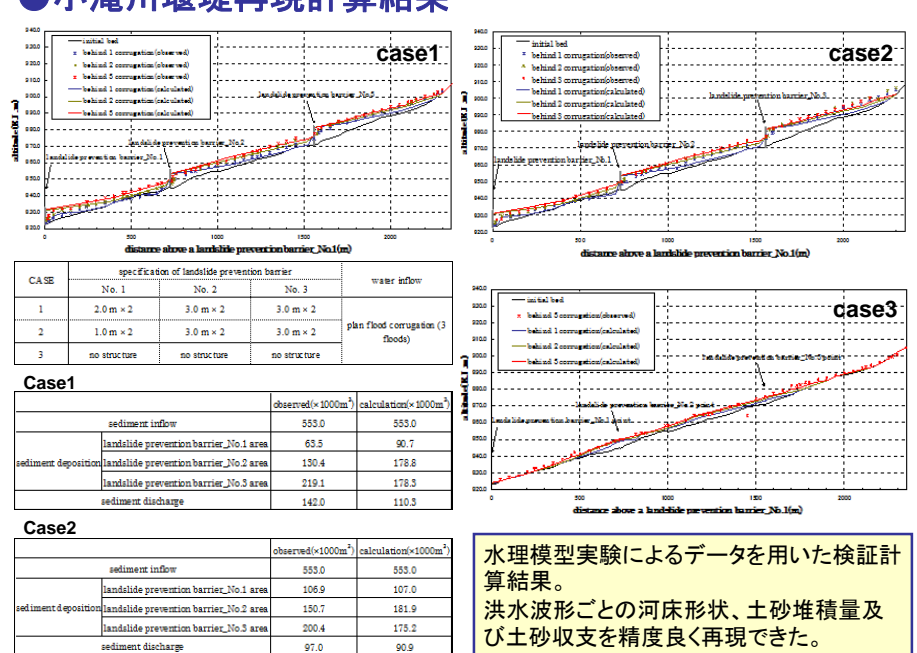


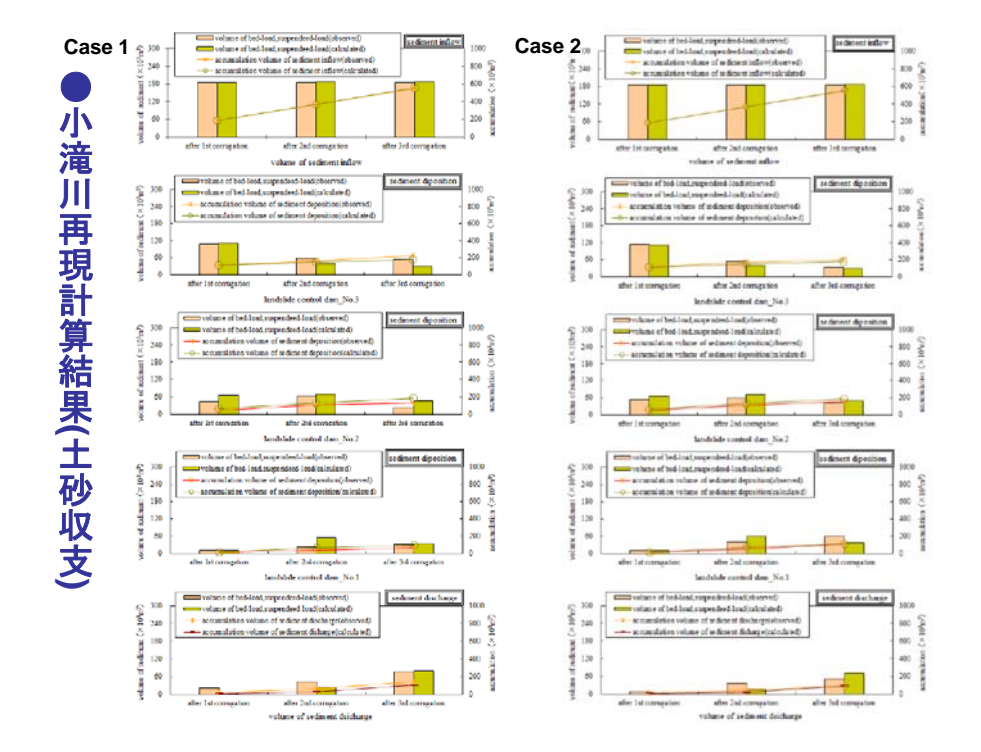


## ●濁度に着目した土砂動態モデル検証計算

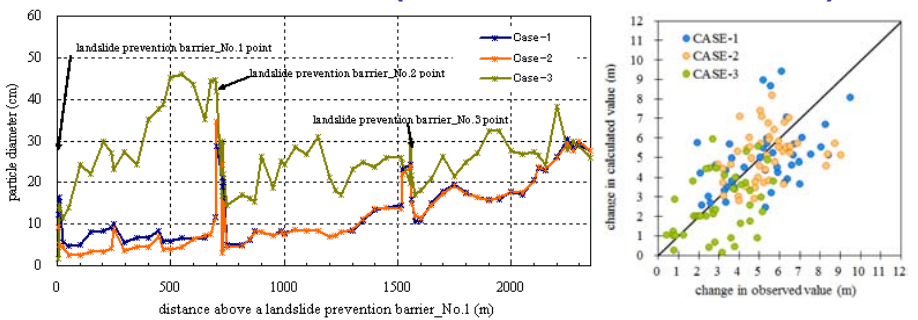


#### ●小滝川堰堤再現計算結果





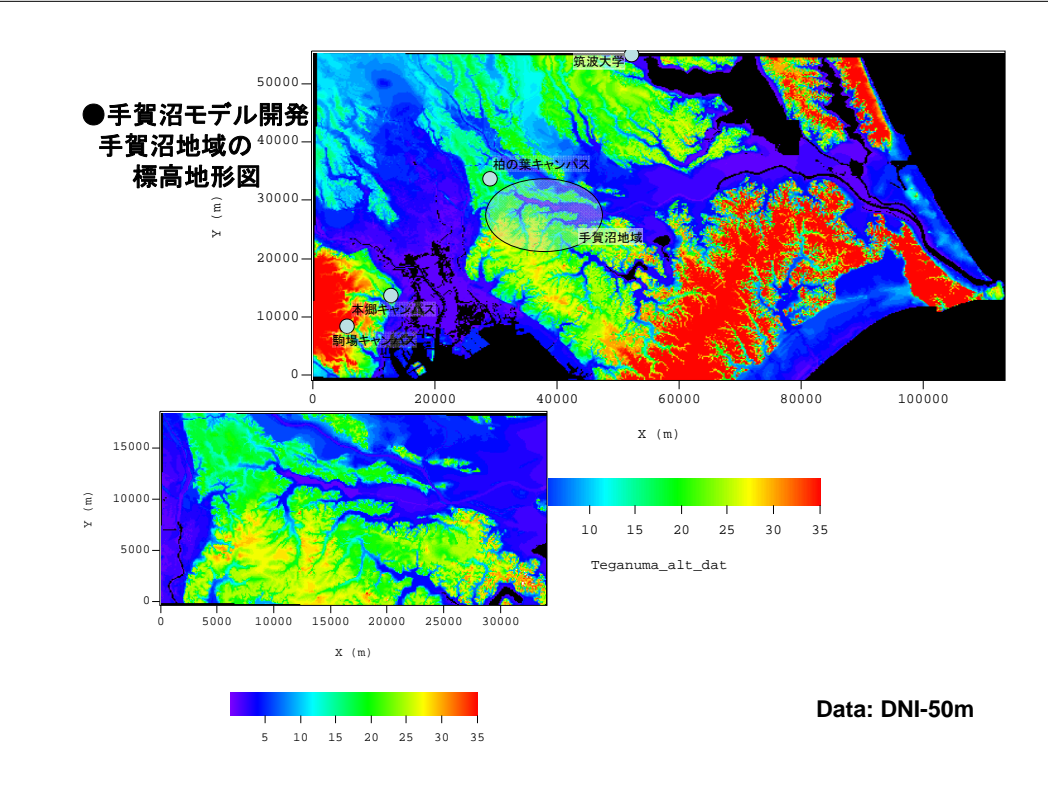
## ●小滝川再現計算結果(土砂粒径縦断、河床変動量)

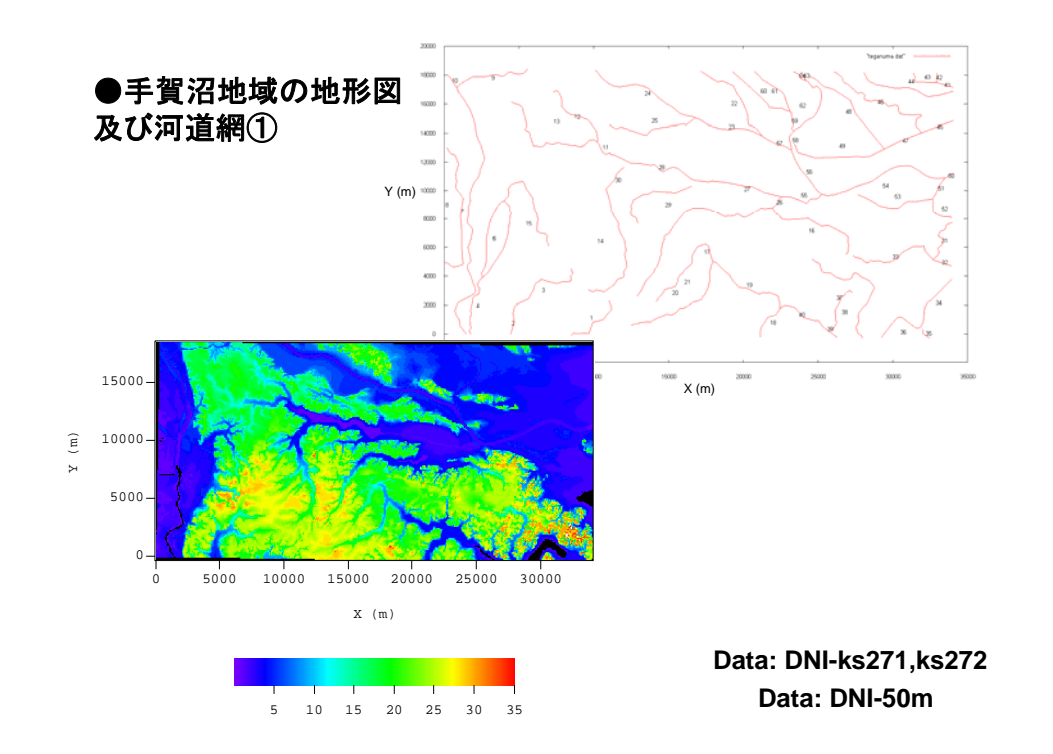


- 〇 土砂粒子の粒径は、1波形及び2波形目では、下流の砂防堰堤に向かって小さくなっている。3波形目では、最下流の砂防堰堤で大粒径となっている。
- 検証計算において、計画洪水波形の3波形を与え、波形ごとでの土砂収支・堆砂形状を数値計算によって再現した。この計算での土砂収支や堆砂形状が実験での結果と良く一致していれば、使用しているモデルが妥当であることが確認できる。その意味では、今回の計算結果は実験での堆砂形状、河床変動量および土砂収支を良く再現できており、モデルの妥当性が示されたと考えられる。

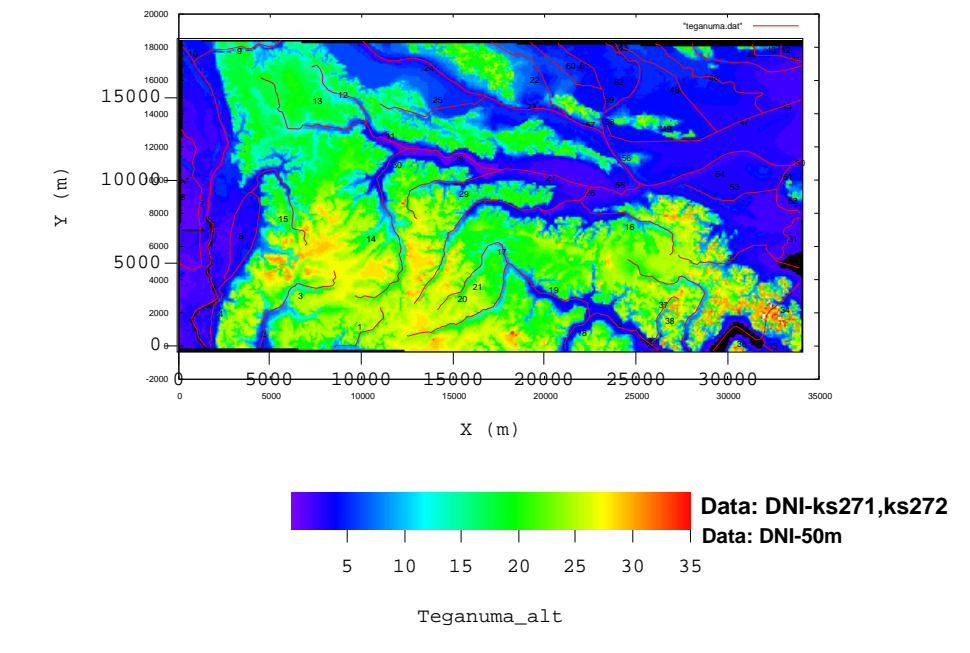
Mouri, G., Golosov, V., Shiiba, M., Hori, T., Chalov, S., Oki, T. Assessing the effects of consecutive sediment-control dams using a numerical hydraulic experiment to model river-bed variation. CATENA (Preliminary accept)



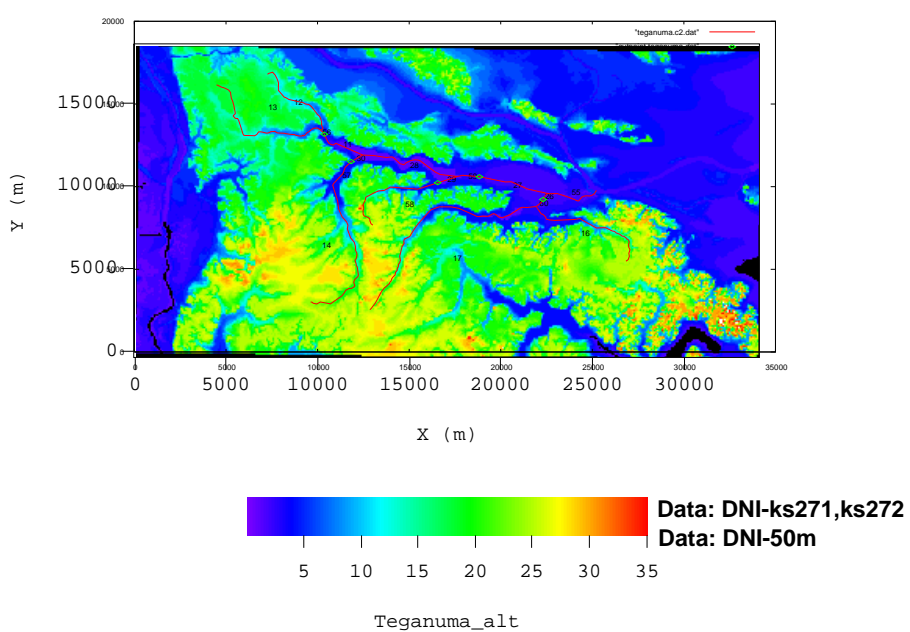


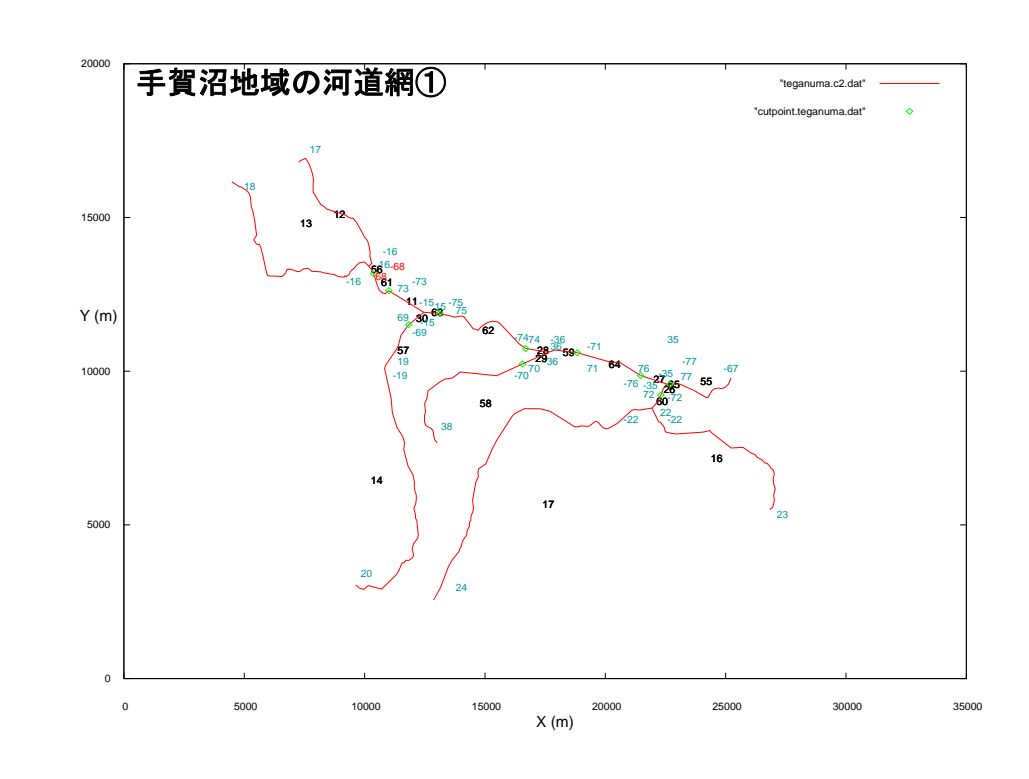






## 手賀沼地域の地形図及び河道網③

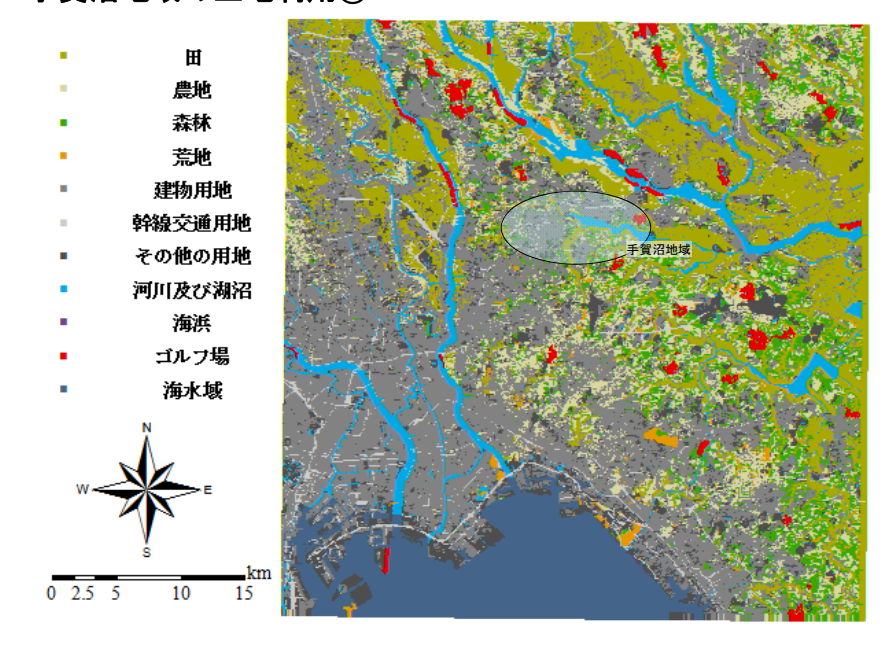




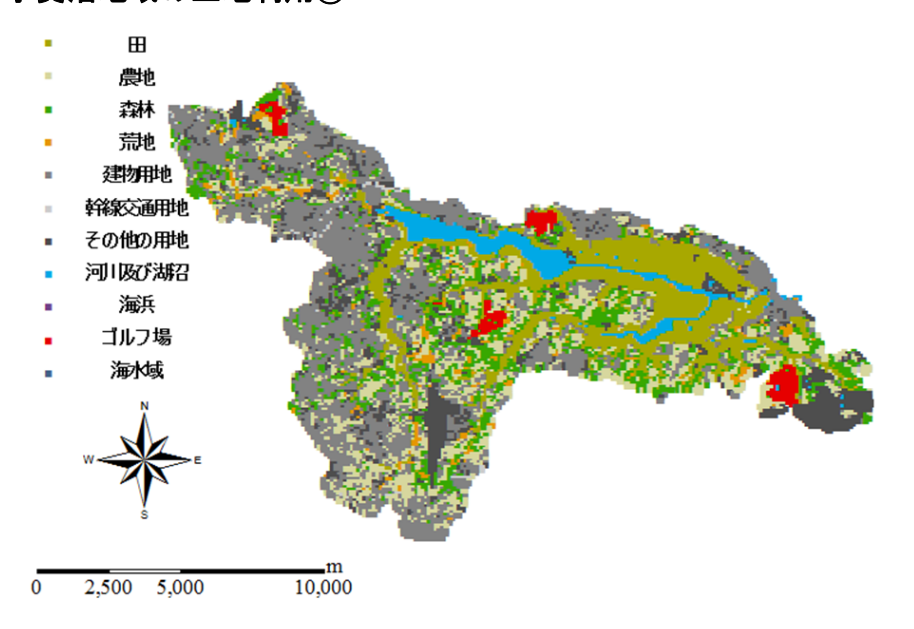
## 手賀沼地域の河道網③ 手賀沼(残流域) Data:末木先生 Y (m) 大堀川流域 下流端(利根川合流点) 10000 大津川流域 6000 5000 10000 15000 20000 25000 X (m) 流域面積:148.85km² Data: DNI-ks271,ks272

Data: DNI-50m

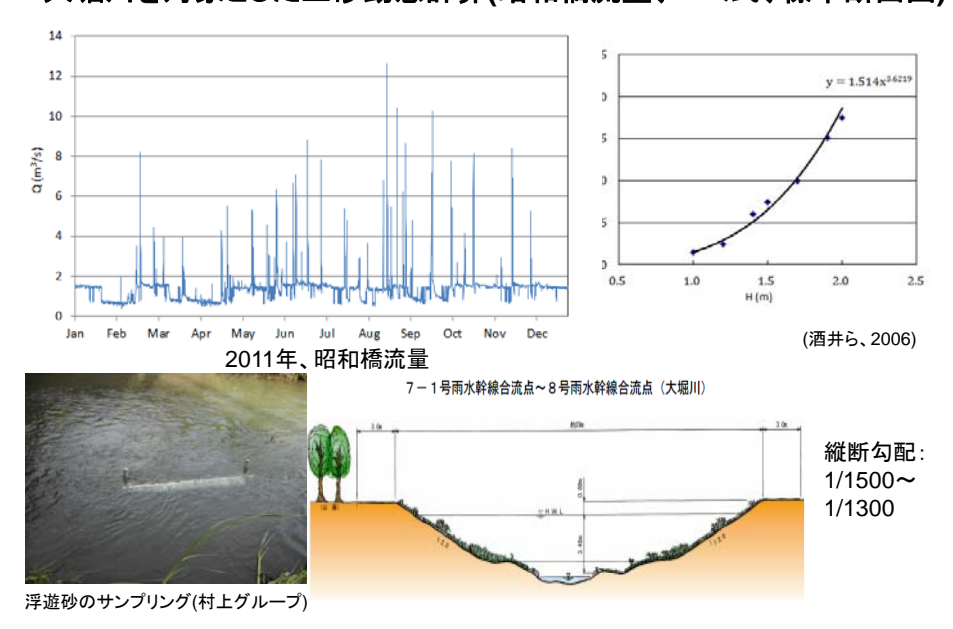
#### 手賀沼地域の土地利用①



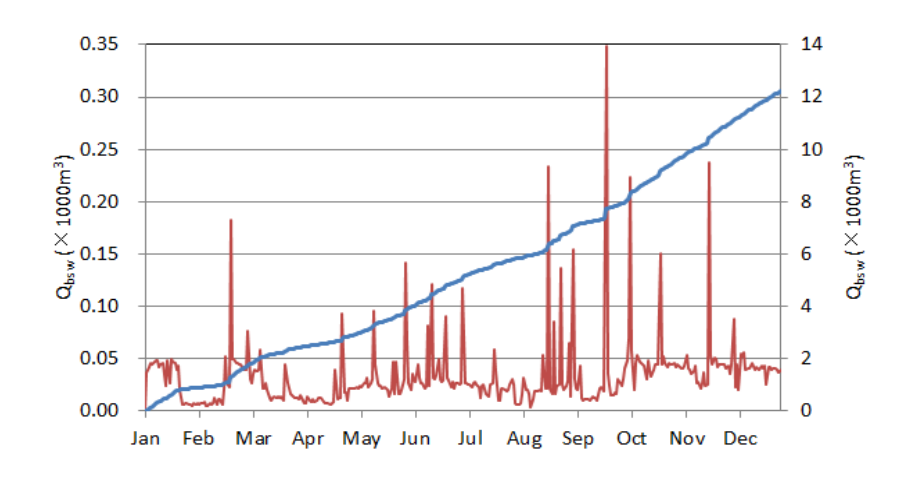
#### 手賀沼地域の土地利用②



#### 大堀川を対象とした土砂動態計算(昭和橋流量、H-Q式、標準断面図)

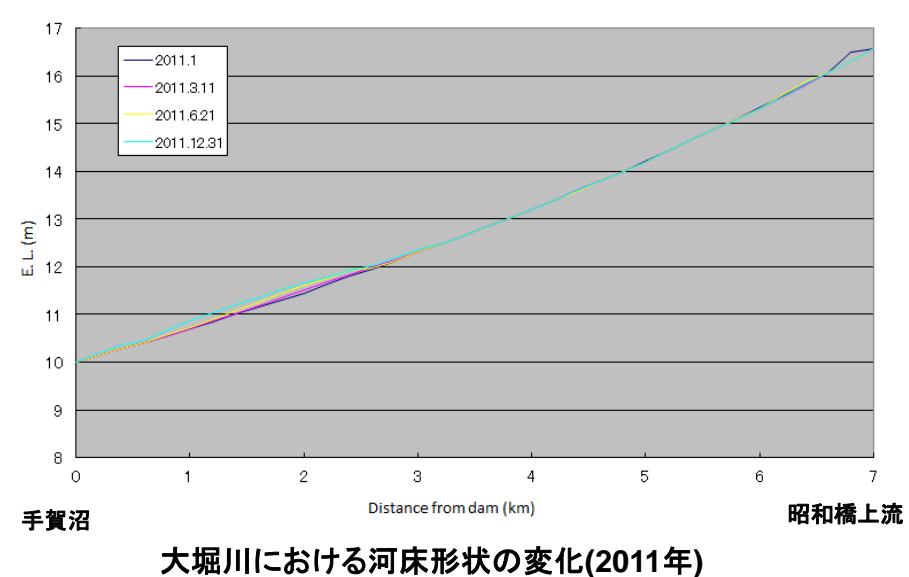


#### 大堀川を対象とした土砂動態の連続解析結果

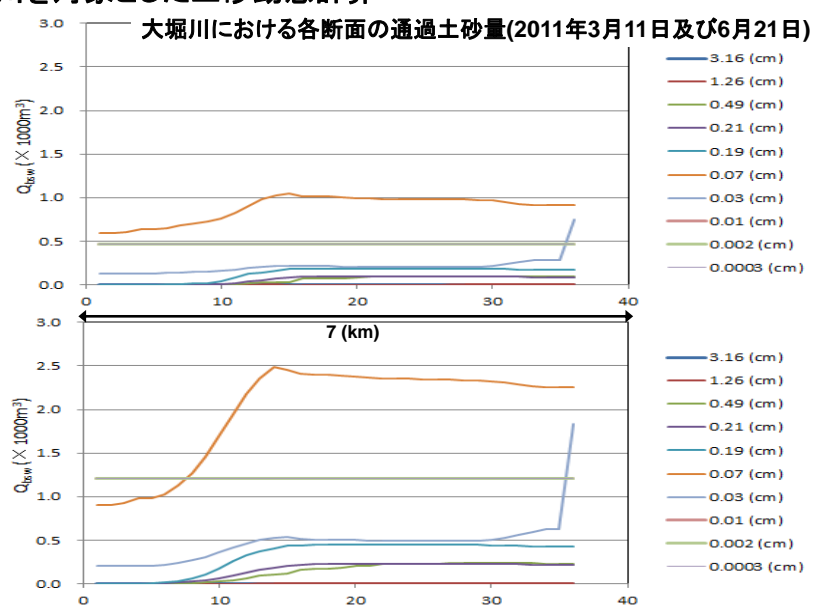


手賀沼への流入土砂量の試計算結果(2011年)

## 大堀川を対象とした土砂動態の連続解析結果

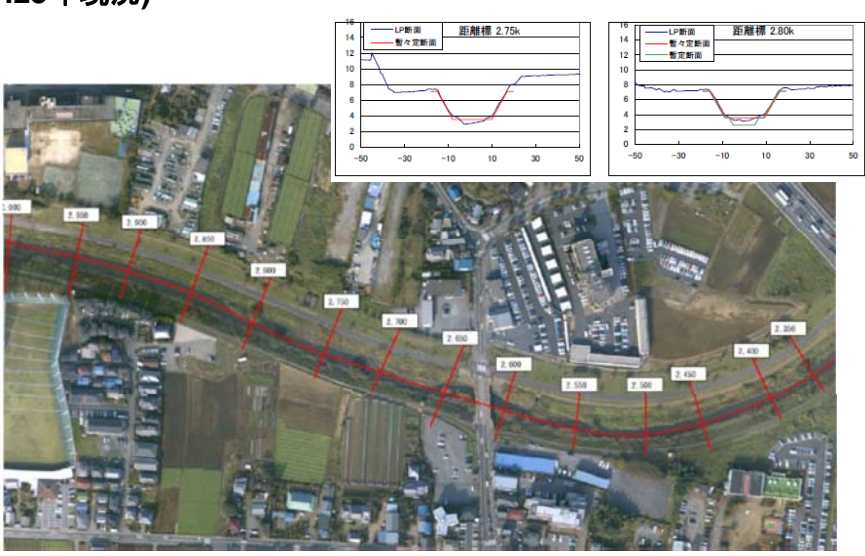


#### 大堀川を対象とした土砂動態計算



出水時においては、微細粒子(SS)は河床に堆積しにくく、大部分はダムに流入している可能性がある。

#### 大堀川における測量データ (H23年現況)



#### ●水系別のダム堆砂状況 (今後の計画)

|      | _              | Т  | 総貯水容量  | ②堆砂量                | 全堆砂率 | 在平均排刷:量             | 1ダム当たりの | 実譜比堆砂量     | ダム流域面積  |     |   |          |
|------|----------------|----|--------|---------------------|------|---------------------|---------|------------|---------|-----|---|----------|
| 水光   | <b>調</b><br>ダム | 盔目 | 0      | (百万m <sup>3</sup> ) | 0/0  | 0                   | 年平均堆砂量  | 0/0        | 40      |     |   | 72       |
|      | 377            | 2  | (百万m³) | 숨 計                 | (%)  | (千m <sup>5</sup> 年) | (∓m³)   | (m³/km²/年) | (km²)   |     |   | }        |
| 天竜川  |                | 14 | 623.7  | 197.6               | 31.7 | 7.749.5             | 553.5   | 1.583      | 4.895.0 |     | 5//   | 7        |
| 里部川  |                | 3  | 210.4  | 31.4                | 149  | 960.9               | 320.3   | 2,083      | 461.2   |     | N. 5  | /        |
| 大井川  |                | 9  | 289.0  | 87.0                | 30.1 | 2,324.7             | 258.3   | 3,115      | 746.2   |     | 1 2 m   | 4:/      |
| 那賀川  |                | 3  | 77.5   | 17.5                | 22.6 | 546.3               | 182.1   | 886        | 616.7   |     | 550   | 1 1 1 de |
| 相撲川  |                | 4  | 129.4  | 23.9                | 18.5 | 586.6               | 146.6   | 488        | 1,201.3 | 莅   |   | 7        |
| 月内月  |                | 4  | 1 43.2 | 10.1                | 7.1  | 526.4               | 131.6   | 640        | 822.3   | 10  | 16  | TV x 3 ) |
| 庄川   |                | 13 | 538.5  | 61.5                | 11.4 | 1.628.5             | 125.3   | 1.424      | 1.144.0 | 位   | my (F)  | 1.12     |
| 多摩川  |                | 1  | 189.1  | 4.1                 | 2.2  | 114.3               | 1143    | 435        | 262.9   |     |   | A SUL    |
| 木曽川  |                | 29 | 706.3  | 119.3               | 16.9 | 3,211.0             | 110.7   | 513        | 6,254.8 |     | A The same of the |          |
| 沙流井  |                | 1  | 5.0    | 3.7                 | 72.9 | 104.9               | 1049    | 185        | 567.0   |     |   | 2 400    |
| 吉野川  |                | 13 | 523.6  | 26.4                | 5.0  | 864.9               | 66.5    | 449        | 1,927.1 |     | CV - + + ~ (i)  |          |
| 利根川  |                | 25 | 9242   | 31.5                | 3.4  | 1,073.4             | 42.9    | 400        | 2,683.0 | 7   |   |          |
| 信放力  | 4              | 32 | 554.3  | 35.3                | 6.4  | 1,364.6             | 42.6    | 379        | 3,602.9 | o o |   |          |
| 淀儿   |                | 15 | 2443   | 11.6                | 47   | 556.1               | 37.1    | 114        | 4,890.9 | 他代  | 20 B  |          |
| 石狩川  |                | 37 | 992.6  | 41.4                | 4.2  | 1,295.0             | 35.0    | 234        | 5,535.5 | ă.  | 0   | *******  |
| 競後川  |                | 10 | 176.4  | 7.5                 | 4.3  | 293.6               | 29.4    | 186        | 1,576.5 | 表河  |   | _        |
| 高梁川  |                | 9  | 193.1  | 6.9                 | 3.6  | 236.4               | 26.3    | 217        | 1,091.9 | Jil |   |          |
| 阿武隈. | 41             | 8  | 1349   | 1.6                 | 1.2  | 59.3                | 7.4     | 19         | 3 125 1 |     |   |          |

フォッサマグナや中央構造線などの代 表的な構造線に近い天竜川水系や大 井川水系において、1ダム当たりの年 平均堆砂量や比堆砂量が大きくなって いる。西日本では小さくなっている。

ダムに着目した放射性物質の長期的な 蓄積量の推定を行なう。

(角, 2000等)

### (III) 126.3 **株扱**川 (中 <u>1</u>20.4 200 300 - ダム当りの年平均単砂製(千m<sup>2</sup>)

26(SHII ( I)

#### 草木ダムの位置図

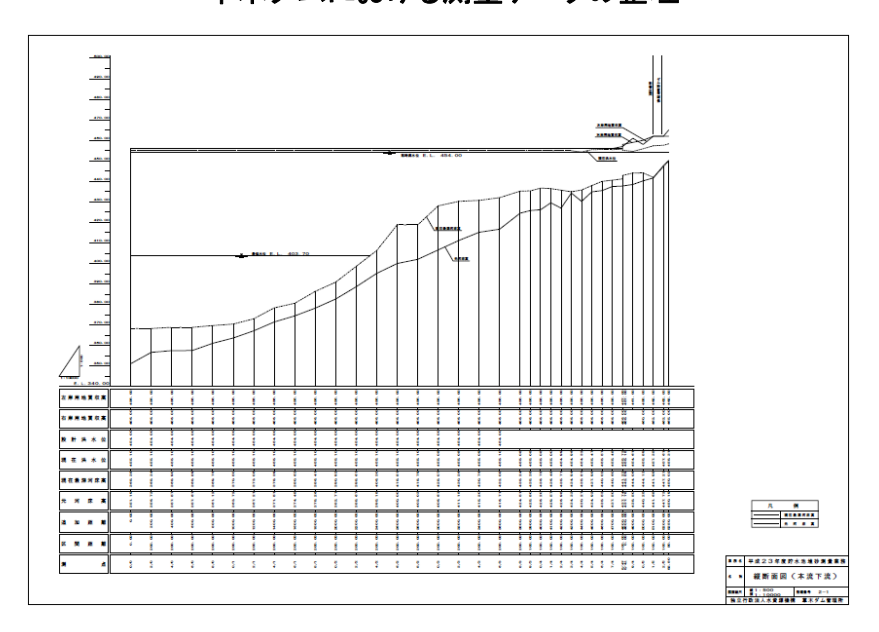


#### 草木ダムにおける基礎データの整理

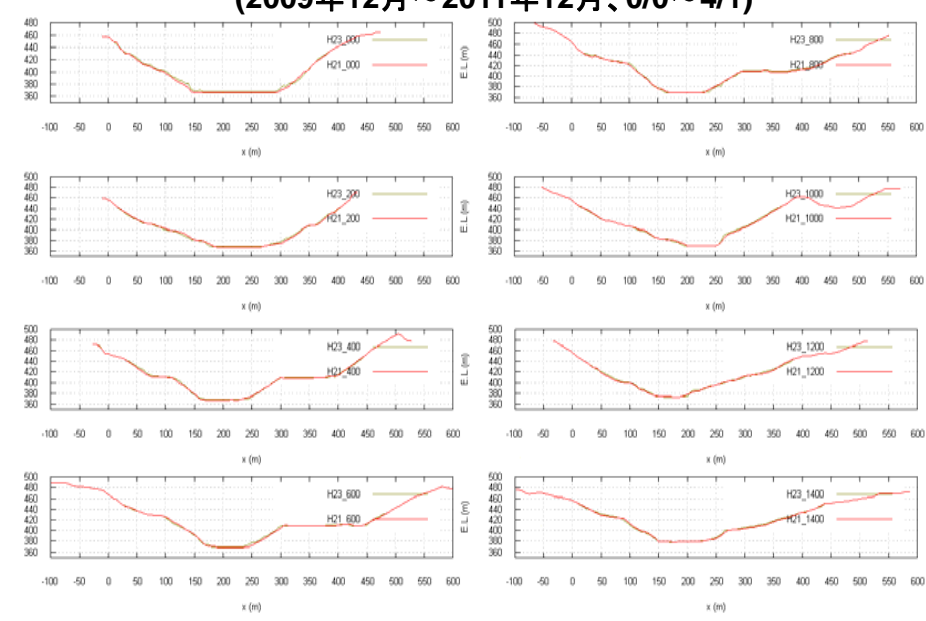
| 項目         | 期間/時期                 | 資 料           | 区間/地点                      |  |  |
|------------|-----------------------|---------------|----------------------------|--|--|
| 測量結果       | S 50.1                | 草木ダム貯水池内および河道 | ダム〜ダム上流 5.2km              |  |  |
| 側里桁木       | H10.1                 | 測量結果縦横断図      | 渡良瀬川 82.80k~84.00k         |  |  |
| 波形         |                       | 草木ダム計画波形      |                            |  |  |
| 流入量        | S50.1~H24.12          | 草ダム管理所        |                            |  |  |
| 放流量        |                       | 草木ダム計画波形      |                            |  |  |
| 灰机里        |                       | 草木ダムただし書操作要領  |                            |  |  |
| 計画高水流砂量    | 無施設<br>H10時点<br>計画完成時 | 計画高水流砂量総括表    | 草木ダム地点<br>(流域面積:253.26km²) |  |  |
| ウォッシュロード流量 | S 57 台風 10 号          | 浮遊土砂分析報告書     | 沢木入地                       |  |  |
| ★容量配分      |                       |               |                            |  |  |



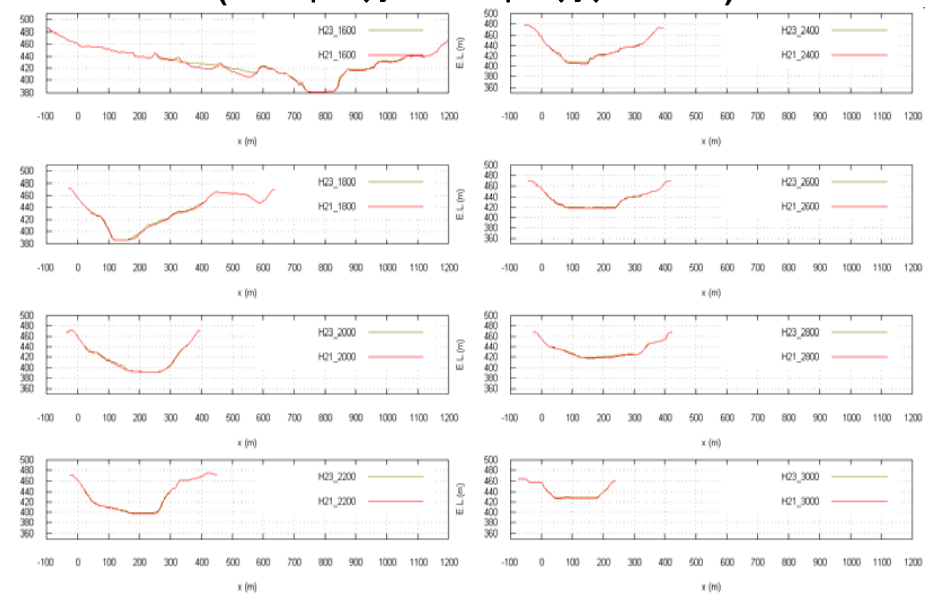
#### 草木ダムにおける測量データの整理



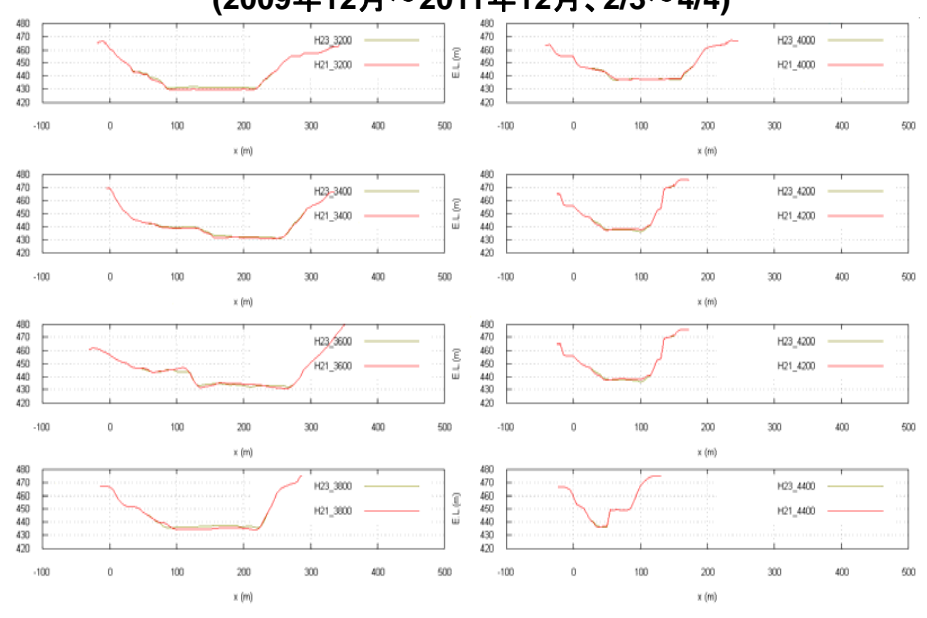
### 草木ダムにおける河川横断の径時変化 (2009年12月~2011年12月、0/0~4/1)



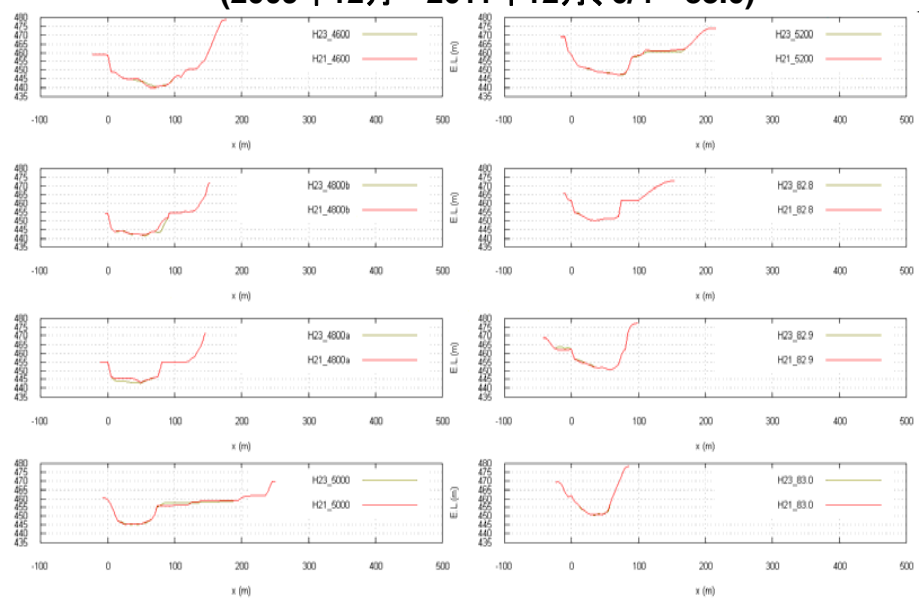
#### 草木ダムにおける河川横断の径時変化 (2009年12月~2011年12月、6/1~0/3)



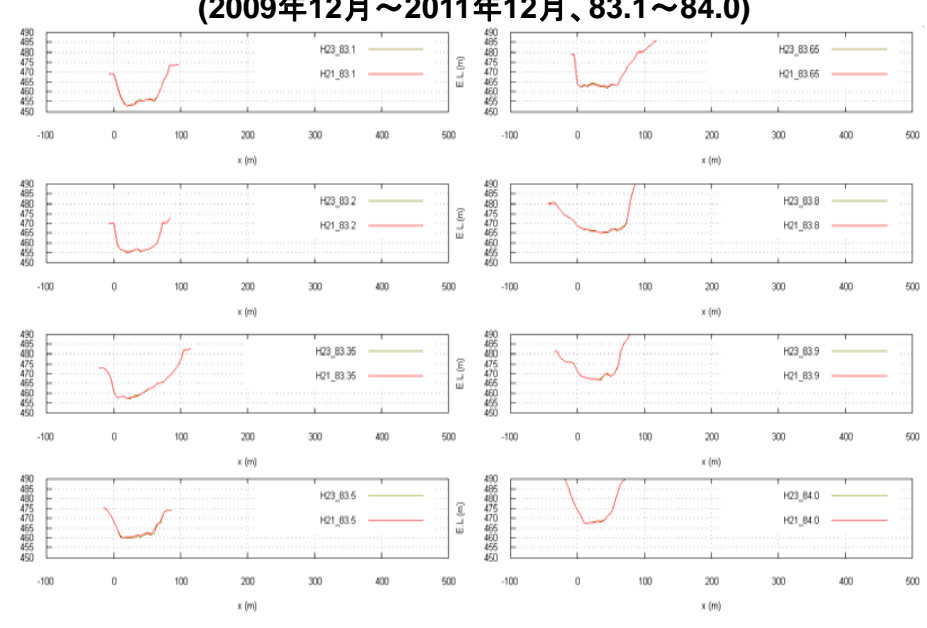
#### 草木ダムにおける河川横断の径時変化 (2009年12月~2011年12月、2/3~4/4)



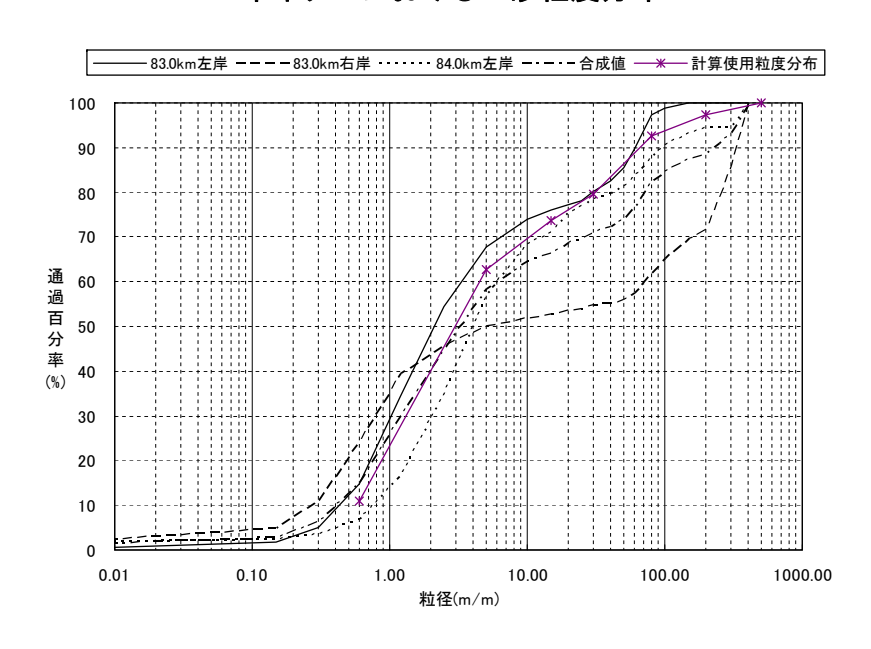
#### 草木ダムにおける河川横断の径時変化 (2009年12月~2011年12月、6/4~83.0)



#### 草木ダムにおける河川横断の径時変化 (2009年12月~2011年12月、83.1~84.0)



#### 草木ダムにおける土砂粒度分布



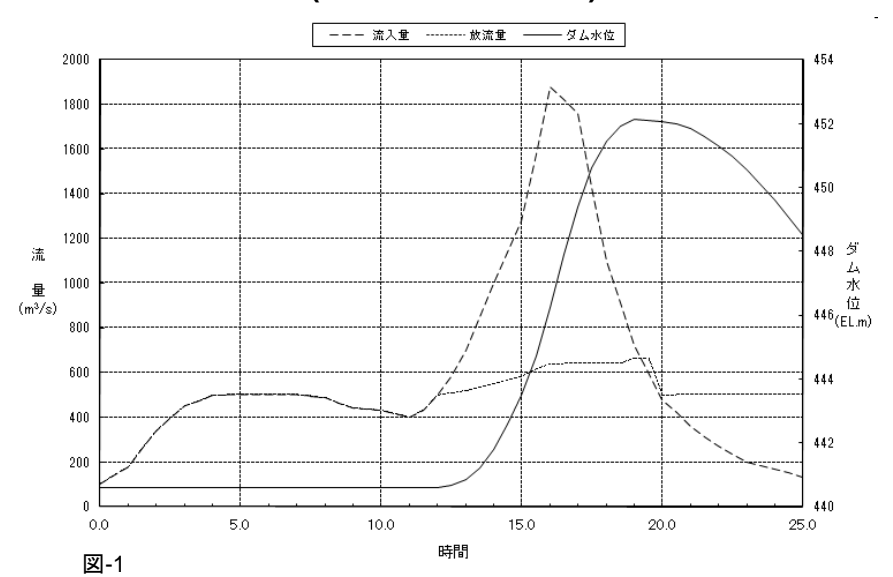
#### 草木ダムにおけるダム運用モデル

本計算の実施においては、計画波形を使用するにあたり、 以下の要領でダム運用を行うものとする。

計算開始時の初期水位はEL.440.6mとする。

- 1. 流入量<500m3/s、ダム水位=EL.440.6mの場合(**図** ①の期間) 放流量=流入量として、水位El.440.6mを保つ。
- 2. 流入量≥500m3/s、EL.440.6m<ダム水位≤EL.451.8mの場合(図 ②の期間) 放流量を図に示す計画高水調節ゲートHQ\*)を用いて設定し、ダム運用を行う。 このときの最大放流量は640.0m3/sとする。
- 3. 流入量≥500m3/s、ダム水位>EL.451.8m(**図** ③の期間) 放流量を**図**に示すただし書操作時HQ\*\*)を用いて設定し、ダム運用を行う。
- 4. 流入量 < 500m3/s、ダム水位 > EL.440.6mの場合(図 ④の期間) 放流量 = 500m3/sで一定放流とし、水位をEL.440.6mまで下げるようにダム運用を行う。

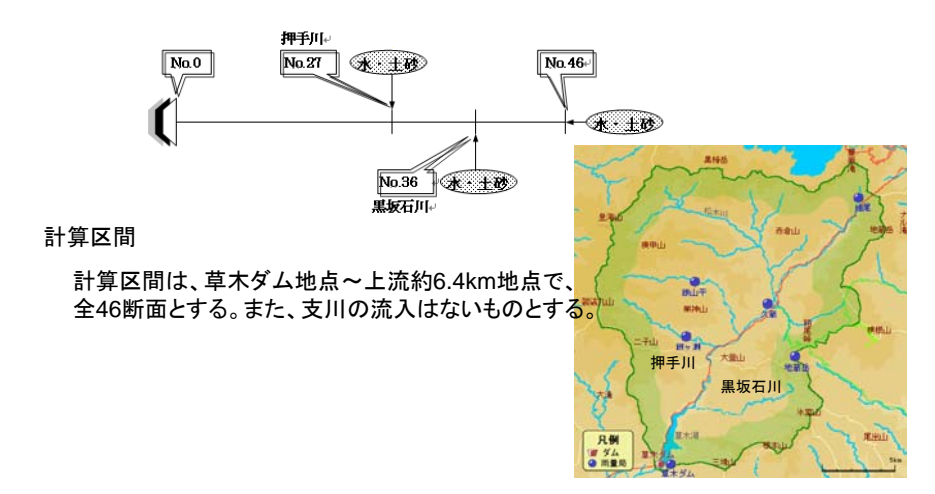
#### 草木ダムにおける流入量、放流量およびダム水位の径時変化 (計画洪水波形、現況)



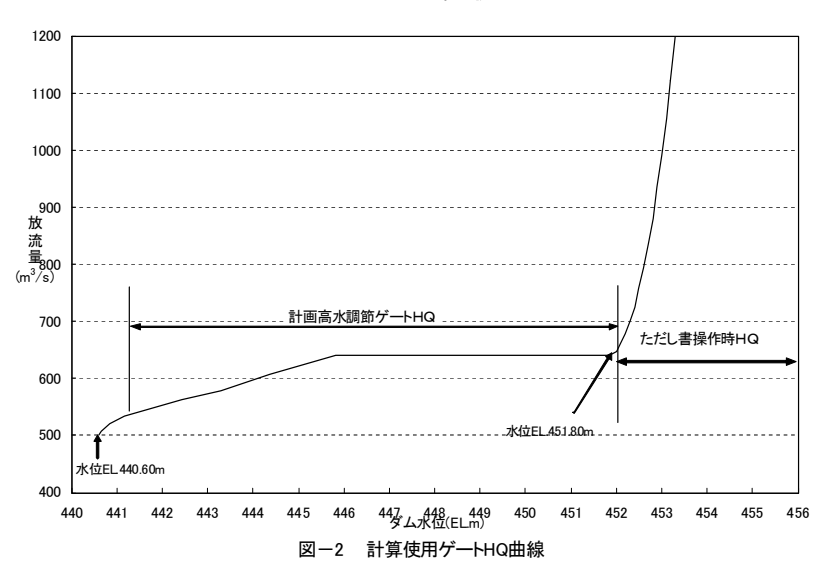
#### 草木ダムにおける土砂水理条件のモデル化

#### 流域モデル

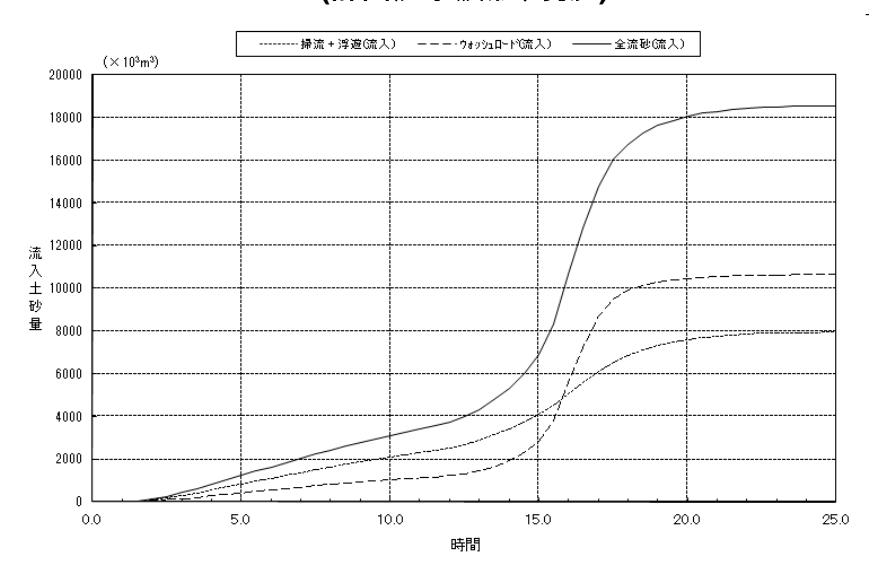
流域モデルは、下図に示す通り、渡良瀬川本川と、黒坂石川及び押手川の 2支川を考慮する。ただし、支川については本川への流量及び土砂の供給 のみを行うものとする。



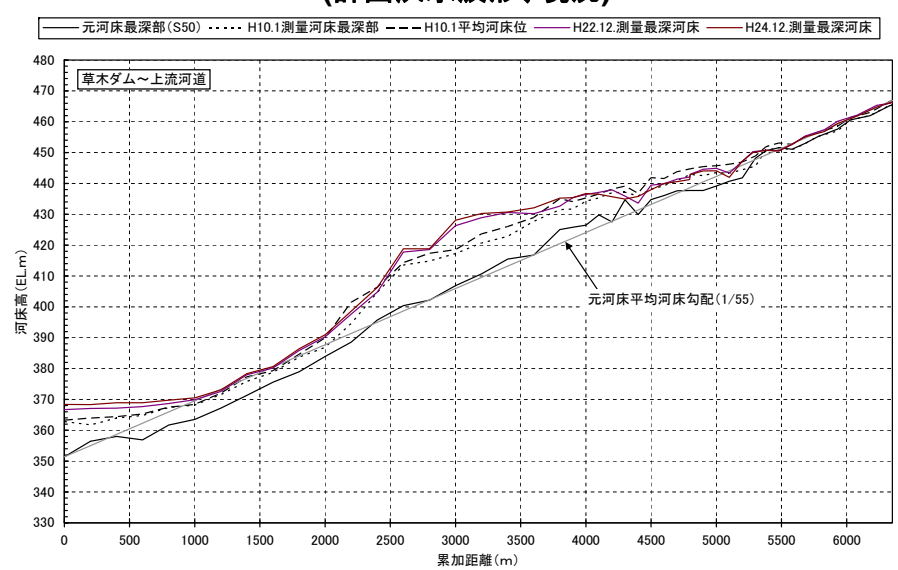
#### 草木ダムにおける計算使用ゲートH-Q



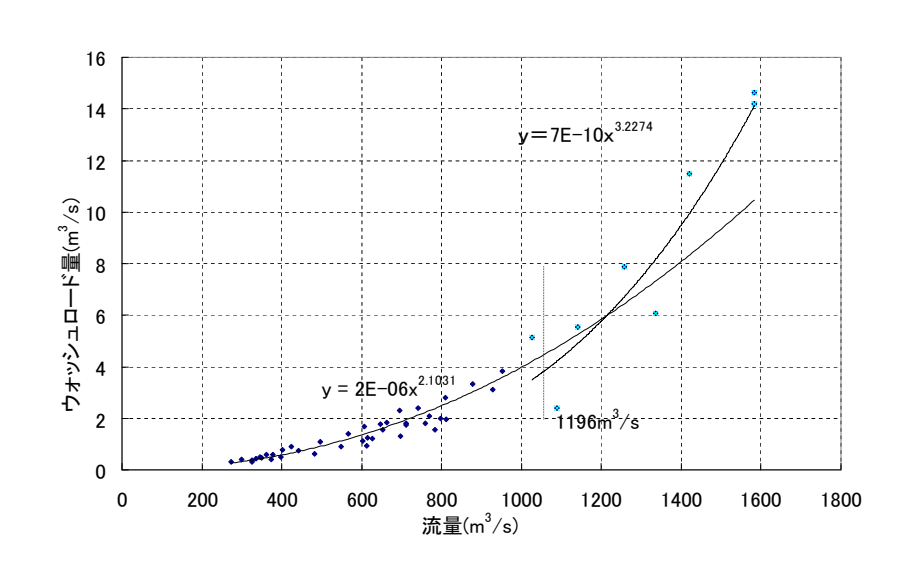
#### 草木ダムにおける流入土砂量の径時変化 (計画洪水波形、現況)



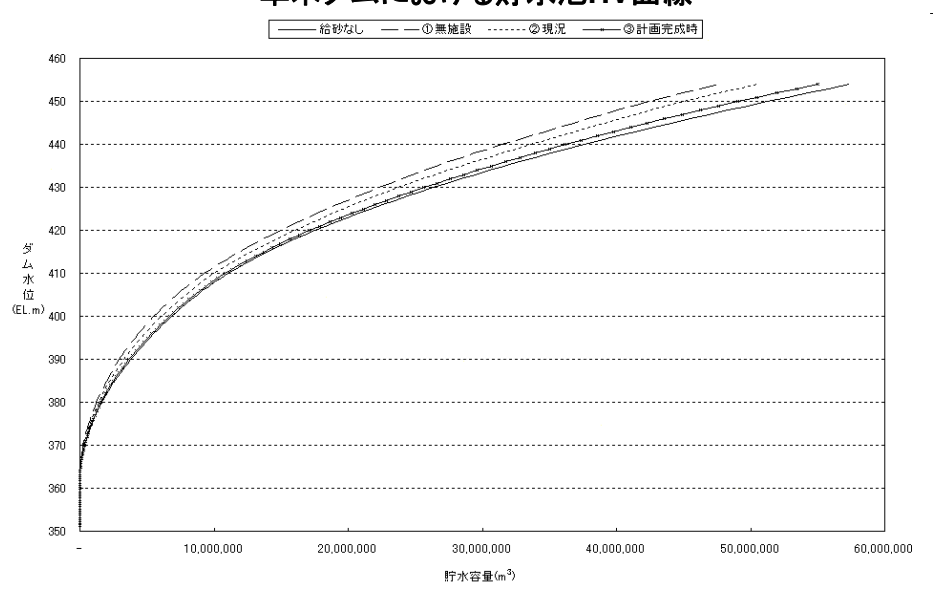
#### 草木ダムにおける流入土砂量の径時変化 (計画洪水波形、現況)



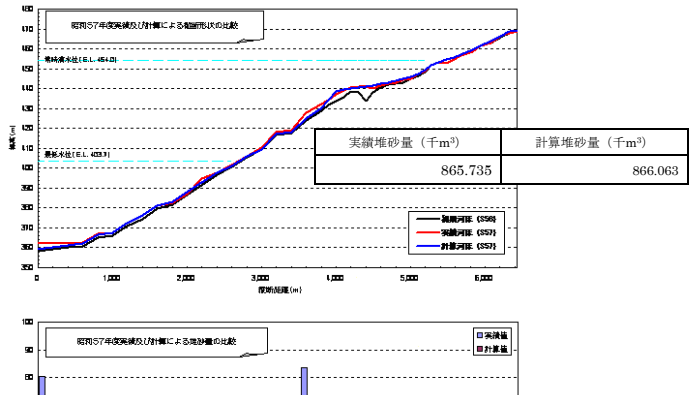
### 草木ダムにおけるウォッシュロード算定式の係数

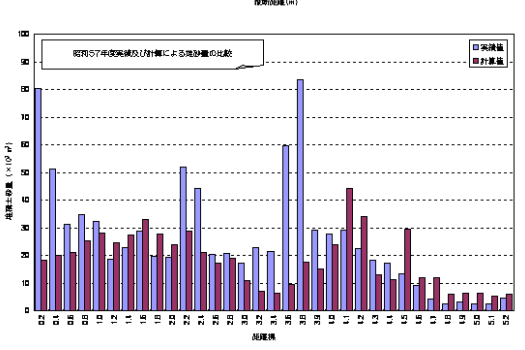


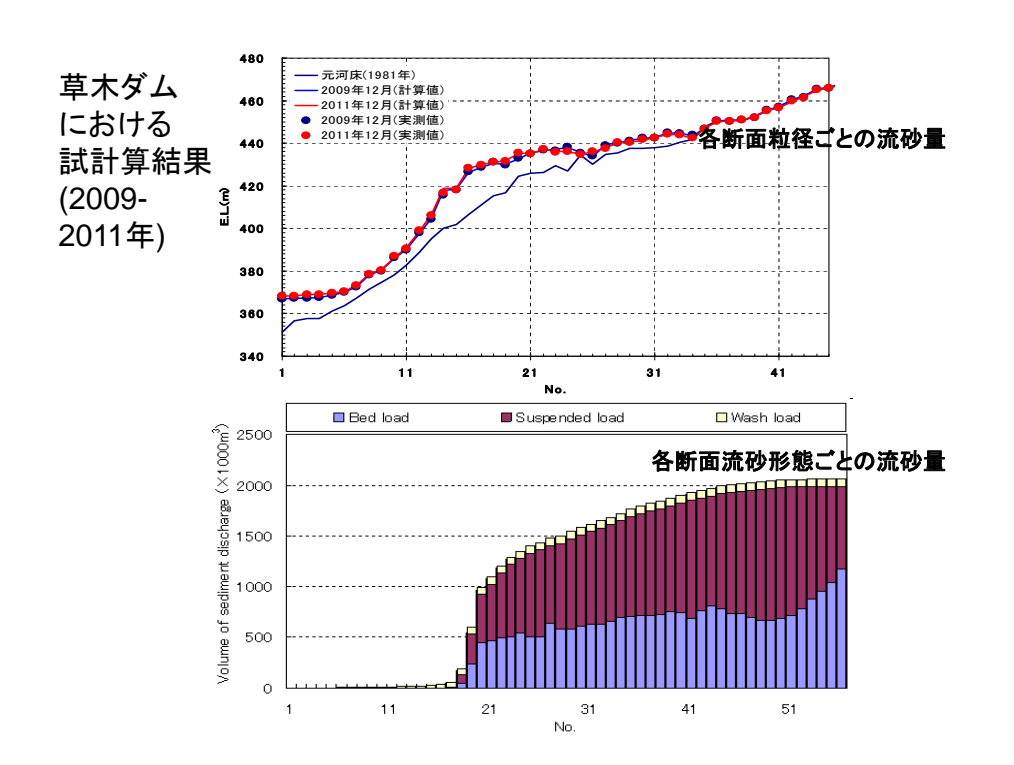
#### 草木ダムにおける貯水池HV曲線



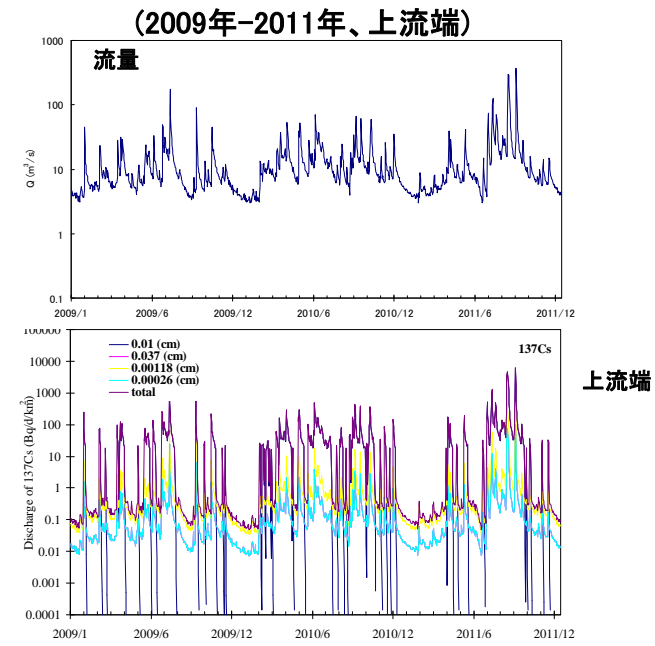
#### 実績及び計算結果における縦断形状の比較

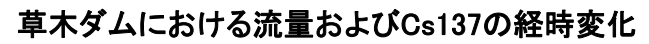


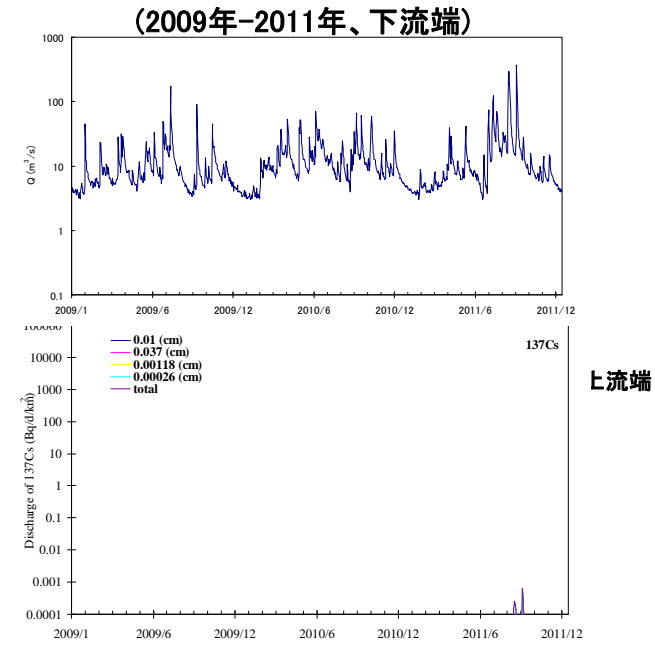




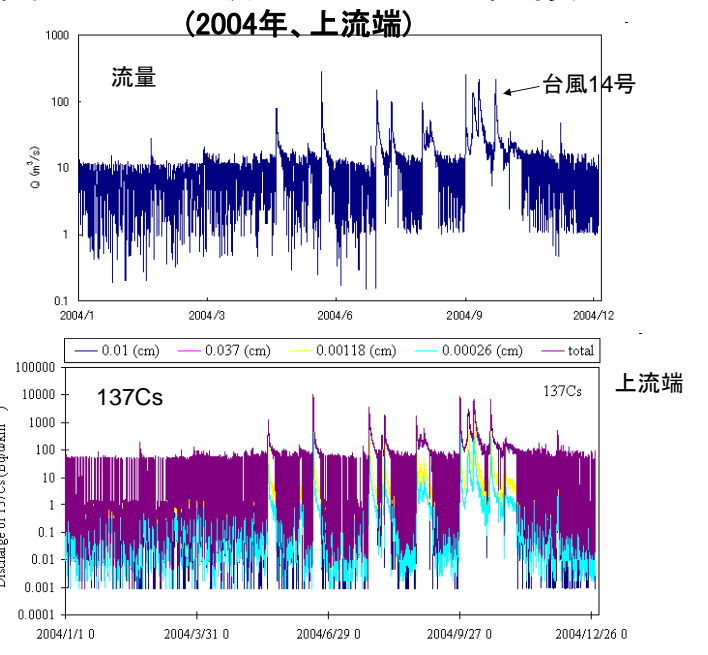
#### 草木ダムにおける流量および137Cs土砂量の経時変化 (2009年-2011年、上流端)



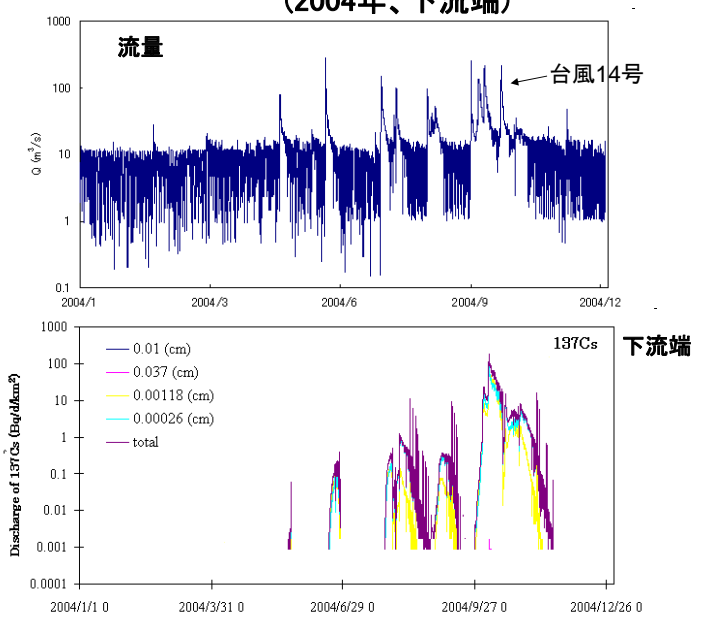




## 草木ダムにおける流量およびCs137の経時変化



#### 草木ダムにおける流量およびSS土砂量の経時変化 (2004年、下流端)



## 今後の計画





芳村・末木・村上グループとの緊密な協力

- ●大堀川測量データの加工及び整備
- ●大堀川における測量の実施
- ●浮遊土砂サンプリング
- ●放射性物質力学過程の導入

マスバランスモデル

Matsunaga et al., 1998; Pinder et al., 2010等

#### 物理モデル

Ciffroy et al., 2006等土粒子への吸着係数、魚類による除去係数等の設定

Mouri et al., 2010

## paper

- •Mouri, G., Shinoda, S., and Oki, T. 2012. Assessing environmental improvement options from a water quality perspective for an urban-rural catchment. Environmental Modelling & Software
- •Mouri, G., Shinoda, S., and Oki, T. 2012. Assessing the effects of consecutive sediment-control dams using a numerical hydraulic experiment to model river-bed variation. CATENA
- •Mouri, G., Shinoda, S., Golosov, V., Shiiba, M., Hori, T., Kanae, S., Takizawa, S., and Oki, T. 2012. Ecological and hydrological responses to climate change in an urbanforested catchment, Nagara River basin, Japan. Urban Climate (revise)